

ECOLE POLYTECHNIQUE DE THIES

Dept: GENIE CIVIL

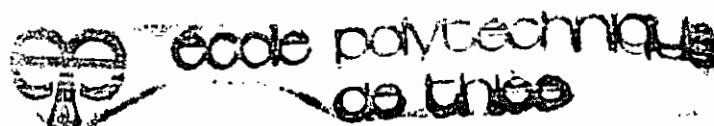
GC.0429

PROJET DE
FIN D'ÉTUDES

titre: Comparaison des Normes Canadiennes
aux Etats Limites avec les Normes Fran-
çaises aux Contraintes admissibles (CC8A68)
en Béton Armé

auteur: Mr Ibra FALL

directeur du projet: Mr Roger LUPIEN



ANNEE: 1981

je dédie ce modeste travail à :

- notre génie poétique de la langue arabe : Cheikh Ahmadou BAMBA M'Backé (Paix sur lui) fondateur de la confrérie des mourides à Touba (R. Sénégal)
- tous mes chers parents
- tous mes amis et copains ayant pour vertus : Travail - Discipline - Prière.

REMERCIEMENTS :

Je tiens à remercier très sincèrement

- Mr ROGER Lupien

qui après avoir proposé le sujet
a bien voulu nous faire l'honneur de
diriger ce projet, pour les conseils
le soutien constant, les encouragements
qui il n'est toujours donné la peine
de nous fournir tout au long de
l'élaboration de ce projet

- Mr Sami Boulos:

Chef du Département Génie Civil

- Mr CHERIF oumar Diagne

Responsable de la bibliothèque de l'E.P.T

- Mes remerciements vont également à
tous ceux qui de près ou de loin
ont participé à l'élaboration de ce
rapport

SOMMAIRE

Nous avons orienté notre compréhension des normes canadiennes et les normes Françaises en deux grands volets

- A) - Principes et caractéristiques des matériaux
 - B) - Etudes des sollicitations principales (flexion, compression, cisaillement) en une procédure subdivisée en trois étapes :
- 1) Faire ressortir les hypothèses de base et la méthode de calcul
 - 2) Appliquer ces principes à un exemple numérique, concrèt
 - 3) Faire une analyse détaillée des résultats obtenus pour en déduire des conclusions objectives

Pour mener à terme l'élaboration de ce rapport nous avons jugé essentiel de faire une recherche bibliographique dans les bibliothèques des trois grandes écoles suivantes

- Ecole Polytechnique de Thies
- Institut Universitaire de Technologie
- Université de DAKAR

L'exploitation des différents résultats nous a permis de tirer les conclusions suivantes :

- Des considérations des contraintes admissibles ne sont en fait qu'une minoration des résistances ultimes des matériaux
- Des calculs menés selon les normes canadiennes permettent une économie remarquable d'acier pour des niveaux élevés de sollicitation ; bien que la norme canadienne utilise des coefficients de majoration des charges plus élevés
- La norme Française des contraintes admissibles offre un coefficient de sécurité global plus élevé que la norme Canadienne

Table des matières

Remerciements	i
Sommaire	ii
Principales notations	IX
Introduction	1

Chapitre I. Sollicitations

1) facteur de sécurité	5
2) facteur de performance ϕ	8

Chapitre II. Caractéristiques des matériaux

A) Béton

1) Résistance à la compression	9
2) résistance à la traction	11
3) Diagramme Contraintes - Déformations	11
4) Modèle d'élasticité	12
5) Coefficient de Poisson	12
Explanations et discussions	14

B) Acier

1) Résistance à la traction	18
2) Résistance à la compression	19
3) Diagramme Contraintes - Déformations	19
4) Modèle d'élasticité	19
5) Coefficient de Poisson	19

Chapitre III Hypothèses fondamentales

- 1) Hypothèses de la résistance des matériaux 22
- 2) Hypothèses particuliers au Beton Armé 23
- 3) Différences essentielles 24

Chapitre IV Flexion

- 1) flexion d'une section rectangulaire 25
- 2) flexion d'une section en Té 37
- 3) flexion d'une section nécessitant de l'armature comprimée 47
- 4) Design d'une poutre 52
- 5) Acier minimal 54

Chapitre V Sections comprimées

- 1) Conditions d'élançement 63
- 2) colonnes courtes 64
- 3) colonnes élancées 65

Exemples numériques.

Chapitre VI Cisaillement

- 1) Contrainte de cisaillement 79
 - 2) Calcul des armatures transversales 79
- Exemples numériques 82

Chapitre VII

Flèche et fissuration

- 1) flèche 89
 2) fissuration 91
 : exemples numériques

Chapitre VIII

Conclusions et Discussions 100

Annexes

- Annexe N°1 TABLEAU N°5 du livre de
 Pierre CHARON : "Exercices de Belot
 Armé avec leurs solutions 105

- Annexe N°2 : figure 3.53 du
 Metric Design Handbook (M.D.H.)
 108

BIBLIOGRAPHIE

109

Liste des Exemples numérotés :

<u>Exemple 1</u>	Design d'une section Rectangulaire	27
<u>Ex N° 2</u>	Analyse d'une section Rectangulaire	28
<u>Ex N° 3</u>	Analyse d'une section en T	40
<u>Ex N° 4</u>	Section Rectangulaire nécessitant de l'armature comprenant	47
<u>Ex N° 5</u>	Design d'une poutre	52
<u>Ex N° 6</u>	Avec minimal pour les dalles plates et colonnes	58
<u>Ex N° 7</u>	Analyse d'un poteau court	66
<u>Ex N° 8</u>	Design d'un poteau court	69
<u>Ex N° 9</u>	Design d'un poteau élancé	71
<u>Ex N° 10</u>	Design d'une colonne avec charge excentrée	74
<u>Ex N° 11</u>	Design d'un assilement variable	82
<u>Ex N° 12</u>	Design d'un assilement uniforme	85
<u>Ex N° 13</u>	Calcul de la flèche d'une console	94
<u>Ex N° 14</u>	Calcul relatif à la fissuration	96

Liste des figures :

- figure N° I : Diagramme Contraintes - Déformations du béton 13
- figure N° II : Diagramme Contraintes - Déformations de l'acier (20)
- figure N° III : Analyse d'une section rectangulaire 33
- figure N° IV : Moment de service M_s en fonction du pourcentage d'Acier ($\rho = A_s / bd$) 34
- figure N° V : Analyse d'une section en Té 45
- figure N° VI : Analyse d'un poteau - court 76
- figure N° VII : Design d'un assallment uniforme 87

Principales Notaciones

Principales notations:

Significations	C.C BA 68	A. 23/3. H.77
Aire de la section droite de l'armature - comprenue (m^2)	A'	A'_s
Aire de la section droite de l'armature tendue (m^2)	A	A_s
Somme des Aires d'armatures transversales "	A_t	
module d'élasticité de l'acier (MPa)	E_u	
module d'élasticité du béton (MPa)	E_b	
charge permanente	G	
charge d'exploitation	P	
moment d'inertie de la section du béton seul (m^4)	I	
moment fléchissant dans une poutre simplement fléchie	M_f	
moment fléchissant maximal dans une poutre indépendante	M_0	
moment de torsion (kNm)	M_t	
effort normal	N	
charge unitaire d'ouïe kN	p_{cr}	

IX

Principales notations (suite)

<u>Significations</u>	CCBA 63	A 23.3.17 77
Sollicitation Totale pondérée effort tranchant (kN) charge de rupture (kN)	(S) T U	U V P_u
de formation longituinale relative au général - de formation longitudinale en traction de l'acier - de formation longituinale en traction du béton - élan cément d'une force - com primee -	ϵ ϵ_u ϵ_b ϵ_c	ϵ ϵ_u ϵ_b ϵ_c
rappel de la charge permanente à la charge totale pondérée - rapport du volume de certains aciers au volume de béton - rapport des performances à la section totale - limite nominale d'élasticité du fil acier (MPa) contrainte de plasticité de l'acier MPa	α β α' σ_{cn} σ_a	ρ ρ' ρ'' f_s

XL

Principales notations (suite)

Significations	CC 8A 65	A 23.3.1177
contrainte de compression du béton à 28 jours (MPa)	σ'_b , τ'_{28}	f'_c
contrainte de traction de référence du béton (MPa)	$\bar{\sigma}_b$	f_{ct}
contrainte de traction admissible pour l'acier (MPa)	$\bar{\sigma}_a$	f_g
contrainte de compression admissible du béton " "	$\bar{\sigma}'_b$	$35 f'_c$
contrainte de compression admissible du béton en compression simple " "	$\bar{\sigma}'_{bs}$	$85 f'_c$
contrainte tangente " "	$\bar{\epsilon}_b$	ϵ_a
contrainte tangentiale admissible du béton " "	$\bar{\epsilon}_{bt}$	ϵ_c
contrainte d'adhérence " "	$\bar{\epsilon}_d$	μ
coefficent de facteur de sécurité pour les délais (-)	φ	M
coefficent d'équivalence (-)	m	n
rayon de courbure d'un polygone de bases	R	D
espacement d'armatures tenu verticales et écart (cm)	t	W
largur d'une fissure (cm)	W_f	

Principales notations (suite)

Significations	CCBA ₆₈	A 23.3.5.77
ordonnée par rapport à l'axe neutre d'un point de la section value maximale de y du côté comprimé	y y_1	y a
bras de levier du couple élastique dans la section largeur d'une section fléchie	z	$d - \frac{a}{2}$
longueur de scellement droit en traction et en compression	b	b_s
longueur de flambement d'une pâce comprimée	L_d	L_d
rayon de gyration de la section droite	i_c	$i_c L_a$
hauteur totale d'une section fléchie	i_t	i_t
flèche	f	Δ
excentricité de l'effort normal par rapport au centre de gravité distance (hauteur) utile d'une section fléchie	e	e
distance de l'armature comprimée à la face comprimée	l_i	d
coefficient de majoration des charges	δ	α

Indices:Significations

	C C BA 68	A 23.3 H 77
A ciel	a	A
hors	b	c
élément critique au flambement	c	c _r
adhérence	d	-dc
une valeur moyenne	m	m
une valeur minimale	min	min
une valeur maximale	max	max
une charge transversal	t	t
une limite ultime (rupture)	u	u
une longue durée	v	w

Introduction

Il existe actuellement deux grandes théories d'analyse :

- la théorie élastique ancienne mais actuelle
- la théorie plastique datant des années 1950

La première suppose que les matériaux demeurent toujours dans le domaine élastique. Elle considère la rupture quand la limite élastique est atteinte.

La seconde méthode est plus récente et est peu utilisée. Elle est certes plus rationnelle car elle respecte mieux le comportement réel des structures en se basant sur la formation de rotules plastiques et une redistribution des efforts.

Cette méthode, la seconde est plus développée en constructions métalliques et est très avantageuse pour des structures hyperstatiques. En Béton Armé la théorie plastique ne trouve pas sa justification car les flèches et les fissures engendrent des problèmes secondaires.

De cette première théorie d'analyse, la théorie élastique sont dérivées deux méthodes de calcul

- la méthode des contraintes admissibles (celle utilisée en France)

- la méthode de la résistance ultime (celle utilisée au Canada)

Le point ces deux méthodes de calcul que nous allons comparer durant notre sujet

- La méthode des contraintes admissibles Françaises

- des charges de service sont majorées : 1,0 pour la charge permanente 1,2 pour la surcharge

- un facteur de sécurité sur les contraintes

- réduction de la résistance du béton à matié

- réduction de la résistance de l'acier aux $\frac{2}{3}$

- La méthode de la résistance ultime (Canada)

- des charges de service sont grandement majorées 1,4 pour la charge permanente 1,7 pour la surcharge d'exploitation

- les contraintes ultimes sont corrigées

- par un coefficient de performance ϕ .

Objectifs du Projet

- Le projet a pour but essentiel de comparer deux méthodes de calcul, donc en effet deux normes différentes :
- la norme Française des contraintes admissibles intitulée : "Règles Techniques de Conception et de Calcul des Ouvrages et Constructions en Béton Armé" ou C.C.B.A₆₈ (1968-1970)
 - la norme Canadienne aux états limites intitulée : "CAN3-A23.3-M77 .C.S.A Règles de calcul des ouvrages en béton dans les bâtiments" par Canadian Standard Association

Il s'avère nécessaire de connaître l'importance d'une norme dans un pays - car elle est un document de référence fixant les terminologies, certaines méthodes de calcul les caractéristiques des matériaux les méthodes d'essais ...

Dans la mesure où à l'heure actuelle tous les projets de construction en B.A. devraient être conformes au C.C.B.A₆₈ une attention particulière mérite d'être retenue

Le choix de ce projet dans une école comme la MHEC revêt donc plusieurs aspects

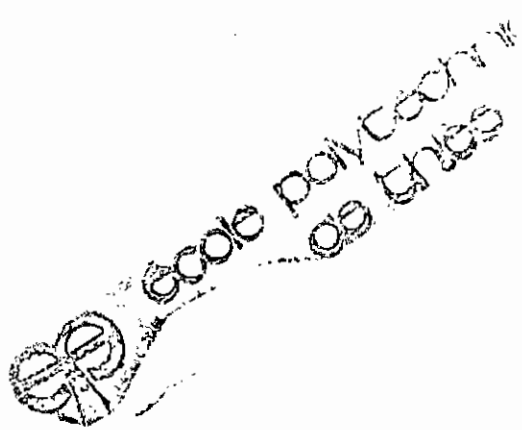
- Vues nos relations historiques avec les pays d'Europe et spécialement avec la France
- Vu le développement scientifique et technique des constructions des ouvrages en Beton Armé étroitement lié aux règles des pays d'Europe
- Vues les tâches et les difficiles rôles que devraient jouer les ingénieurs diplômés de cette école pour mieux prévoir l'expansion et l'ouverture culturelle des Bureaux d'études
- de la place sous la responsabilité des étrangers.

Il est donc indispensable pour tout ingénieur diplômé de cette école d'essayer de s'adapter et d'intégrer le plus rapidement possible son milieu professionnel, en comprenant les textes et règles en vigueur bien sûr.

Ce projet constitue donc pour nous un document de base important pour le milieu professionnel

Chapitre I : Solutions

- 1) facteurs de sécurité
- 2) faille de performance



CCB A 68		Chapitre I		Soli citatios - facteurs de sécurité		A 23.3 MYR	
<u>motif</u>	<u>signification</u>	<u>coefficients de sécurité</u>	<u>Nominal</u>	<u>Signification</u>	<u>facteur de sécurité</u>		
G	Charge permanente	1	D	Charge permanente	1.4		
P	Surcharge d'exploitation	1, 2	L	Surcharge d'exploitation	1.7		
V	Surcharges climatiques naturelles	1	R	Surcharges dues aux vents	1.7		
W	" extérieures	1	H	Portée des temp.	1.4		
SI	Surcharge due aux séismes	1	E	Surcharge due aux séismes	1.8		
T	Surcharge due à la température et au retrait	1	T	Surcharge due à la T° et au retrait	1.4		

Les coefficients de majoration des charges sont ceux des sollicitations du 1er genre, donc servant pour le calcul habituel

CC BA 68

<u>Combinaisons de charge</u>	<u>charge</u>
-------------------------------	---------------

formule générale :

$$S = \gamma_0 G + \gamma_p P + \gamma_T T + \gamma_W W + \gamma_{SI} SI$$

Quelques combinaisons de charge

- $S_0 = G + 1,2P$

formule générale :

$$S = G + \gamma_0 P + \gamma_T T$$

- $S_1 = G + P + V + T$

Situations du 1er genre

$$\begin{aligned} S_1 &= G + 1,2P + T \\ S'_1 &= G + P + V + T \end{aligned}$$

- Situations du 2^e genre

$$\begin{aligned} S_2 &= G + 1,5P + 1,5V + T \\ S'_2 &= G + P + \gamma_W W + T \end{aligned}$$

si $\bar{\gamma}_W < 0,2$ $G \cdot \gamma_W = 1 - \frac{0,5}{G}$; $\gamma_W = 1$ au maximum

$$S''_2 = G + P + T + SI$$

<u>formule générale :</u>	A 23.3 477
---------------------------	------------

$$\begin{aligned} S &= \gamma_0 D + \gamma_P (\alpha_L L + \alpha_T T) \\ \text{quelles combinaisons de charge} \\ - S_{01} &= 1,4D + 1,7L \\ S_{02} &= 1,4D + 1,7T \end{aligned}$$

$$S_1 = 1,4D + 1,7L + T$$

$$\begin{aligned} S'_1 &= 1,4D + 1,7T + 1,7P \\ &= 1,4D + L + P + 1,7T \end{aligned}$$

$S_2 = S'_1 = 1,4D + L + P + 1,7T$

$$S'_2 = 1,4D + 1,49L + 1,84H + T$$

$$S''_2 = 1,4D + L + 0,84T + 1,08E$$

Explanations et discussions

1) Norme Française : CCBA 68

Elle distingue 2 types de combinaisons de charges

a) des sollicitations totales pondérées du premier genre qui servent pour le design
calcul habituel

b) des sollicitations totales pondérées du second genre qui servent pour la vérification
des contraintes

Toutes ces sollicitations sont munies de facteur de sécurité (majoration des charges)

Le second type de sollicitations permettant la vérification des contraintes, constitue en fait un pas vers la considération des états limites

2) Norme canadienne A23.3-M77

En plus des coefficients de majorations des charges elle tient compte d'autres facteurs

- le coefficient de risque ou d'importance γ
- $\gamma = 1$ pour les bâtiments importants grande occupation (halles, usines...)

$\gamma = 0.8$ pour les bâtiments agricoles

- de coefficient de simultanéité ψ .
- ; il tient compte de la probabilité que 2, 3, à 4 charges soient présentes
- $\psi = 1$ pour une seule surcharge
- $\psi = .7$ pour 2 surcharges
- $\psi = .6$ pour les autres cas

La norme canadienne travaillant aux états limites possède des coefficients de majorations des charges plus élevés 1,4 et 1,7 à comparer à 1 et 1,2 pour les charges courantes.

Le code français fait la différence entre les charges climatiques normales et extrêmes alors alors que le code National du Bâtiment utilisant les charges extrêmes introduit une probabilité d'occurrence simultanée et de plus tient compte de l'importance de la construction.

2) Le facteur de performance ϕ

Une diminution de la résistance s'explique par les variations méritables dans la résistance des matériaux, la main d'œuvre, les dimensions et dans le degré de supervision. L'autre volet du facteur de sécurité consiste en une réduction de la résistance nominale des matériaux par le facteur de performance ϕ .

Le facteur ϕ exprime en fait le degré de confiance que l'on a à l'égard des capacités déduites des essais expérimentaux. Il dépend du mode de sollicitation :

- a) flexion avec ou sans tension axiale $\phi = 0,9$
- b) tension axiale $\phi = 0,9$
- c) cisaillement et torsion $\phi = 0,85$
- d) éléments comprimés (avec spirales) $\phi = 0,75$
- e) éléments comprimés (ligaturés) $\phi = 0,70$
- f) pression de contact sur le béton $\phi = 0,70$
- g) flexion dans le béton non armé $\phi = 0,65$

CCBA 68 | Chapitre II Résistances caractéristiques des matériaux | A 23.3.1177

1) Béton

Résistance à la compression

Elle est égale au quotient de l'effort maximal supporté par l'éprouvette par l'aire de sa section droite. L'éprouvette utilisée est un cylindre tel que la hauteur soit deux fois le diamètre $H = 2D$

Ses dimensions sont : (150 x 300 mm)

La résistance à la traction σ_{tc} est exprimée en bars et le test est effectué après 28 jours de durcissement du béton.

1) Béton

Résistance à la compression

Elle est égale au quotient de l'effort maximal supporté par l'éprouvette par l'aire de sa section droite. L'éprouvette utilisée est un cylindre tel que la hauteur soit deux fois le diamètre $H = 2D$. Ses dimensions sont : (150 x 300 mm). La résistance à la traction σ_{tc} est exprimée en MPa et le test est effectué après 28 jours de durcissement du béton.

Chapitre II

Résistances Caractéristiques des matériaux

- A) Béton 9
- B) Acier 18

CC BA 68

A 23.3.1777

Résistance à la compression (partie)

Dans le calcul des contraintes et tensions on utilise plutôt la contrainte de compression admissible désignée par le symbole $\bar{\sigma}_b'$. Elle est une fraction f_b' de la résistance monomale σ_m' .

$$\bar{\sigma}_b' = p_b' \sigma_m'$$

La fraction p_b' est définie comme le produit des 5 facteurs dans dimensions $p_b' = \alpha \beta \gamma \delta \varepsilon$ d'ordre

$$\bar{\sigma}_b' = \alpha \beta \gamma \delta \varepsilon \sigma_m'$$

Résistance à la compression

Pour le calcul de la théorie de la rupture la contrainte de compression f_c' est entièrement utilisée.

10

CCBA 68

Résistance à la traction du bétonElle est désignée par $\bar{\sigma}_t$

$$\bar{\sigma}_t = f_b \cdot \sigma'_n$$

 f_b est le produit de 4 constantes

$$f_b = \alpha \beta \gamma \theta$$

Résistance à la traction du béton

- Elle est déterminée par f_{ct}
- Elle peut être déterminée par 3 tests :
 - test breveté
 - test de tension pure
 - test de module de rupture

$$\text{on l'estime généralement par } f_{ct} = \frac{1}{10} f'_c$$

Diagramme continu des formations
(voir figure)

Drogramme - contraintes de formation
(voir figure)

A 23.3 M 77

CCBA 68

A 23.3 M77

Module d'élasticité E_b

$E_b = \frac{\sigma_b}{\epsilon}$ raideur de la droite de Hooke
Structurellement par rapport le béton n'a
pas un rapport continu - déformations
 (σ_b / ϵ) Constant

Pour les charges et surcharge permanents $E_V = 7000 \sqrt{f'_c}$
Pour les rapides variables $E_i = 21000 \sqrt{f'_c}$
 σ'_j (bars) E (bars) $\epsilon = \frac{\Delta L}{L}$

Coefficient de poison η

$$\epsilon = \eta \frac{\sigma'}{E_b} \quad \eta = \frac{\epsilon_y E_b}{\sigma'}$$

généralement on prend $\eta = 0,15$

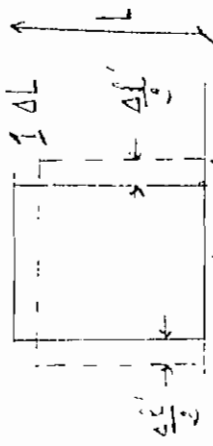
Coefficient du poison η

$$\eta = \frac{\epsilon_y E_c}{f_c}$$

généralement on prend $\eta = 0,17$

Module d'élasticité E_c

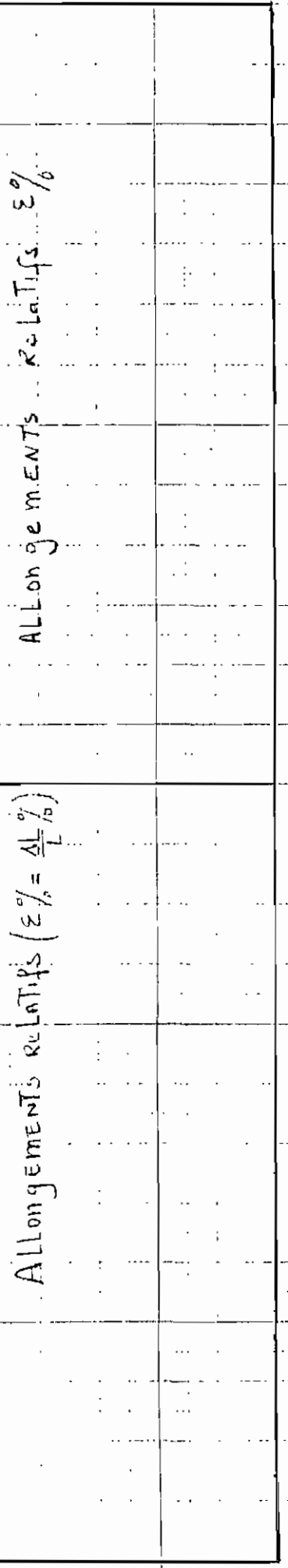
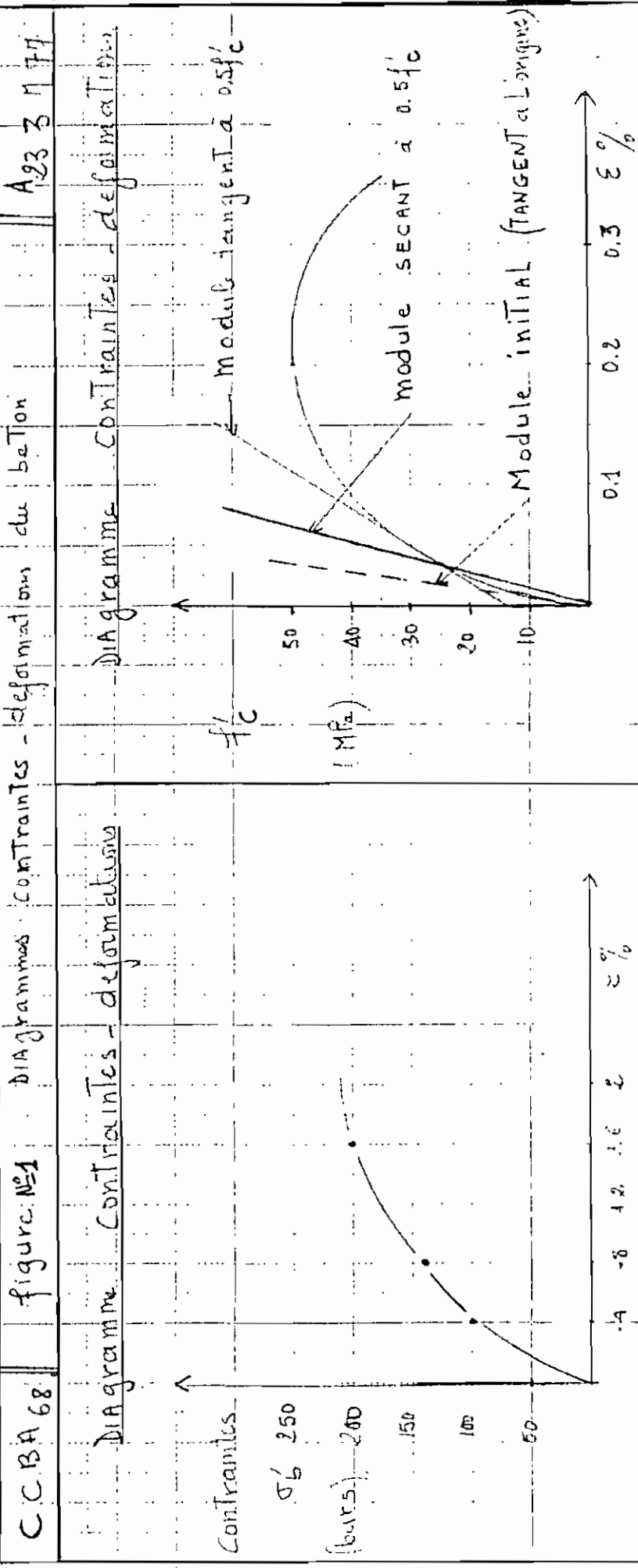
$$E_c = f_c / \epsilon$$



Pour un béton normal $E_c = 5000 \sqrt{f'_c}$

$$E_c (\text{ MPa}) \quad f_c (\text{ MPa})$$

13



Explications et Discussions :

Selon les deux normes canadiennes et Françaises la base du calcul est la résistance en compression du béton. Le développement et l'avantage du complexe béton armé résident essentiellement au fait que le béton résiste bien à la compression et l'acier résiste bien à la traction et à la compression. La résistance à la traction du béton n'intervient que dans le calcul relatif à la fissuration.

C.C.BA 68 : Norme Française :

La résistance en compression du béton s'effectue sur un cylindre ayant 200 cm^2 de section et ayant une hauteur égale au double du diamètre $h = 2d$.

Sont un cylindre ($160 \times 320 \text{ mm}$)

La résistance minimale considérée est de 192 bars. Les valeurs de la résistance en compression

σ'_j à 7 jours pour j très grand

Supérieur à 28 jours sont escomptées à

$\sigma'_j = 1,2 \sigma'_{28}$ pour les ciments de la classe 325

$\sigma'_j = 1,1 \sigma'_{28}$ pour les ciments de classe supérieure

Un ciment de la classe 325 est un ciment offrant une résistance minimale à la compression cyclique à 325 bars si l'on s'agit du matériau normalisé à 28 jours d'âge.

- contraintes admissibles:

La résistance à la compression σ_{28} c'est à dire à 28 jours est réduite par le produit des constantes adimensionnelles $\alpha \beta \gamma \delta \varepsilon$.

- ayant pour significations:

- le coefficient α tient compte de la classe du ciment : $\alpha = 1$ pour le ciment de classe 325
 $\alpha = \frac{9}{10}$ pour un ciment de classe 400
 $\alpha = \frac{5}{6}$ pour un ciment de classe 500
- le coefficient β tient compte du contrôle du béton - $\beta = 1$ pour les bétons strictement contrôlés
 $\beta = \frac{5}{6}$ pour les bétons ayant un contrôle attenué
- le coefficient γ tient compte du granulat utilisé pour le béton

$$\gamma = 1 \text{ si } a \geq \frac{a}{4c_g}$$

$$\gamma = \frac{a}{4c_g} \text{ si } \frac{a}{4c_g} < 1$$

a = plus petite dimension de la graine

c_g = grosseur du granulat constitutif

- Le coefficient δ est fonction du mode de sollicitation considéré. Pour les sollicitations totales pondérées du premier genre, on a
 $\delta = 0,30$ dans le cas de la compression simple
 $\delta = 0,60$ dans le cas de la flexion simple
- Le coefficient ε est pris égal à 1 pour la compression simple
la valeur de ε est toujours supérieure à 0,5 inférieure ou égale à 1 d'où l'utilisation habituelle de ces contraintes
 $\bar{\sigma}'_b = 0,30 \sigma'_{28}$ dans le cas de la compression simple
 $\bar{\sigma}'_b = 0,60 \sigma'_{28}$ dans le cas de la flexion simple
- Le coefficient θ intervient dans le calcul de la contrainte de traction du béton
 $\theta = 0,018 + \frac{2,1}{\sigma'_n}$ (σ'_n est la résistance à la compression du béton à 28 jours)
- Pour les sollicitations totales pondérées du second genre les valeurs de δ et θ sont multipliées par 1,5

Norme canadienne A 23.3, 7.77

Pour cette norme la résistance en compression n'effectuée sur un cylindre ayant une hauteur égale au double du diamètre ($h = 2d$) sont un cylindre 150×300 mm. La valeur de la résistance en compression à 28 jours f'_c prise en contact dans le calcul n'est pas une moyenne comme dans le cas de la Norme Française CCBA 68 mais plutôt un minimum absolu qui sera égalé ou dépassé par la moyenne de l'importe quelle série de 3 essais consécutifs concédants (écart maximum 3,5 MPa).

Selon la norme canadienne, calculant aux états limites la valeur prise en compte pour le calcul est la valeur réelle de la résistance ultime du béton qui est d'ordre de $0,85 f'_c$.

En vue de simplifier les calculs et remplacer le diagramme réel par le diagramme rectangulaire équivalent on a introduit un coefficient β_1

$$\beta_1 = 0,85 \text{ pour } f'_c \leq 27,5 \text{ MPa}$$

$$\beta_1 = 0,85 - 0,05 \left(\frac{f'_c - 27,5}{6,9} \right) \text{ si } f'_c > 27,5 \text{ MPa}$$

CC BA 68 | Résistances - caractéristiques des matériaux

A 23.3.7.77

A air

Résistance à la traction

En fonction de la limite élastique σ_{en} , les matériaux sont classés en nuances et en deux catégories :

- accès ronds lisses

Exemples Fe E 22
Fe E 34

$$\sigma_{en} = 22 \text{ kgff/cm}^2$$

$$\sigma_{en} = 34 \text{ kgff/cm}^2$$

- Accès à haute adhérence

Exemple : Fe 40
La contrainte de traction admissible :

$$\bar{\sigma}_a = \rho_a \sigma_{en}$$

Avec $\rho_a = \frac{2}{3}$ pour les applications du fer - genre et $\rho_a = 1$ pour le genre genre

A air

Résistance à la traction

la limite d'élasticité ou d'écoulement de l'acier est désignée par le symbole σ_y .
elle est exprimée en MPa.
C'est cette résistance qui est généralement utilisée pour la théorie de la rupture.

$$\sigma_y = 22 \text{ kgff/cm}^2$$

$$\sigma_y = 34 \text{ kgff/cm}^2$$

- Accès à haute adhérence

Exemple : Fe 40
La contrainte de traction admissible :

$$\bar{\sigma}_a = \rho_a \sigma_y$$

Avec $\rho_a = \frac{2}{3}$ pour les applications du fer - genre et $\rho_a = 1$ pour le genre genre

CCBA 68

A 23.3 M 77

Résistance à la compression $\bar{\sigma}_a'$
La contrainte de compression admise
de l'acier designée par le symbole
 $\bar{\sigma}_a'$ est égale aux $\frac{2}{3}$ de la limite
d'élasticité nominale en compression

$$\bar{\sigma}_a' = \frac{2}{3} \sigma_{en}'$$

Diagramme contraintes - déformations

voie - courbe

Module d'élasticité E_a

$$E_a = \frac{\sigma_a}{\epsilon} = 200 \text{ GPa}$$

coefficent du Poisson η

$$\eta = 0.3$$

Résistance à la compression f'_s
La contrainte de compression de
l'acier se note de façon
générale par f'_s

Diagramme contraintes - déformations

voie - courbe

Module d'élasticité E_s

$$E_s = \frac{f_s}{\epsilon} = 200 \text{ GPa}$$

coefficent du Poisson η

$$\eta = 0.3$$

CCBA 68 | figure N° 2

Diagramme Contraintes - Déformations

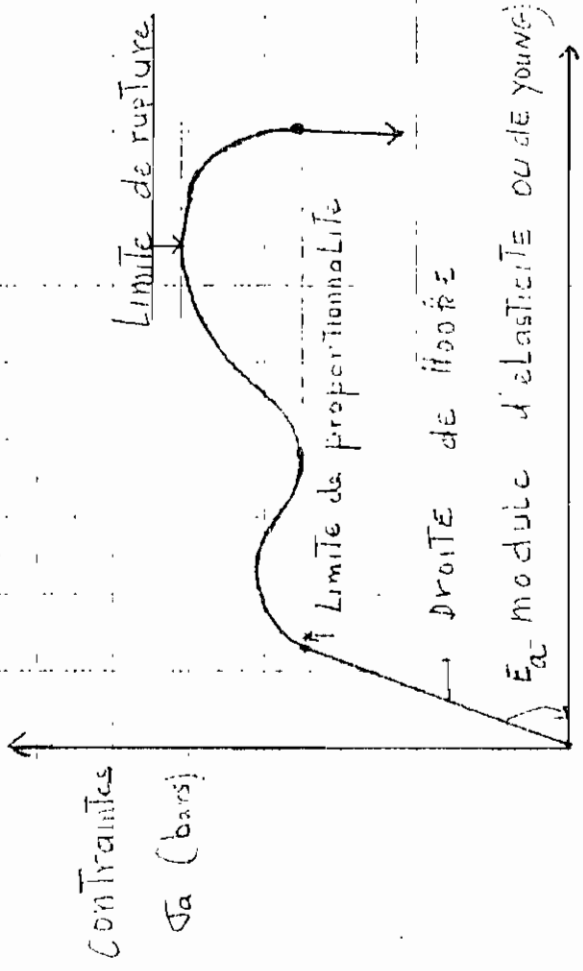
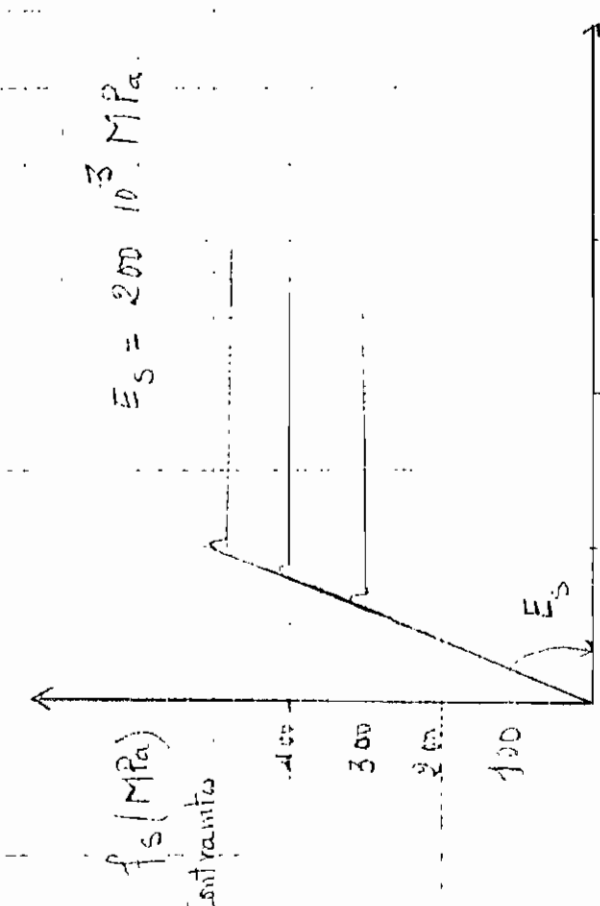


Diagramme Contraintes - Déformations

Diagramme Contraintes - Déformations

Diagramme Contraintes - Déformations

$$\varepsilon_s = 200 \cdot 10^{-3} \text{ MPa}$$



$$0,2 \quad 0,4 \quad 0,6 \quad \varepsilon \%$$

Allongements

$$\varepsilon = \frac{\Delta L}{L} (\%)$$

Allongements

20

Explications et discussions :

En ce qui concerne les caractéristiques de l'acier les deux normes Françaises et Canadiennes offrent beaucoup de ressemblances car l'acier est un matériau homogène dont les propriétés sont communes sur le plan international et faciles à prédir.

La limite de base du calcul est la limite élastique. Elle correspond à la charge pour laquelle l'effort indiqué par le dispositif de mesure est stationnaire pour la première fois ou diminue bien que la déformation de l'éprouvette augmente. Si la limite élastique σ_E ou σ_0 est difficile à saisir on n'exécute pas comme le cas des aciers écrous on prend la limite conventionnelle d'élasticité à 0,2% de déformation.

Pour la norme Française calculant aux contraintes admissibles la valeur puse pour le calcul proprement dit est

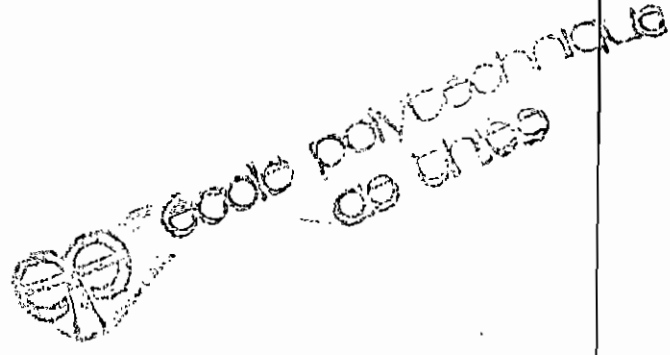
$$\bar{\sigma}_u = \frac{2}{3} \sigma_{en} : \quad \bar{\sigma}_a = \text{contrainte admissible en traction}$$

$\sigma_{en} = \text{limite d'élasticité nominale.}$

Chapitre III

Hypothesen - fondam entales

- 1) Hypothese de la résistance des matériaux
- 2) Hypothese parabolique sur Beton armé



Chapitre III Hypothèses fondamentales

III 1 - Hypothèse de la Résistance des MATERIAUX (R.D.M.)

les hypothèses sont les mêmes pour les 2 normes

a) Pour une section quelconque

- s'agir d'une section de largeur constante
- les dimensions d'une section sont petites par rapport à leur longueur
- le rayon de courbure de la ligne moyenne est grand par rapport aux dimensions transverses
- le matériau constituant le corps est homogène, continu, isotrope et élastique
- les forces sont appliquées très lentement sur une surface et il ne se produit pas de déformations locales permanentes
- les forces internes sont en équilibre avec l'action des charges extérieures

b) Hypothèses de Navier-Bernoulli

Tant que la limite d'élasticité du matériau constituant ce corps n'est pas dépassée toute section plane transversale reste après déformation plane et identique à elle-même

c) la loi de Hooke

La contrainte en un point quelconque est proportionnelle à la déformation unitaire qui se produit en ce point

III - 2. Hypothèses particulières au Béton Armé

III - 2 - 1 Ressemblances

a) béton tendu

La résistance à l'extension du béton est faible
on néglige par mesure de sécurité le béton
tendu dans les calculs relatifs à la
détermination des contraintes normales et de
celles des armatures

b) Pas de glissement relatif entre l'acier et le béton

c) homogénéisation de la section

Le béton armé est hétérogène on remplace
dans les calculs les sections d'acier
d'aire A par des sections de béton équivalentes
d'aire $A \times n$ où n est le coefficient
d'équivalence.

III - 2 - 2 : Differences essentielles pour les hypothèses en B, A.

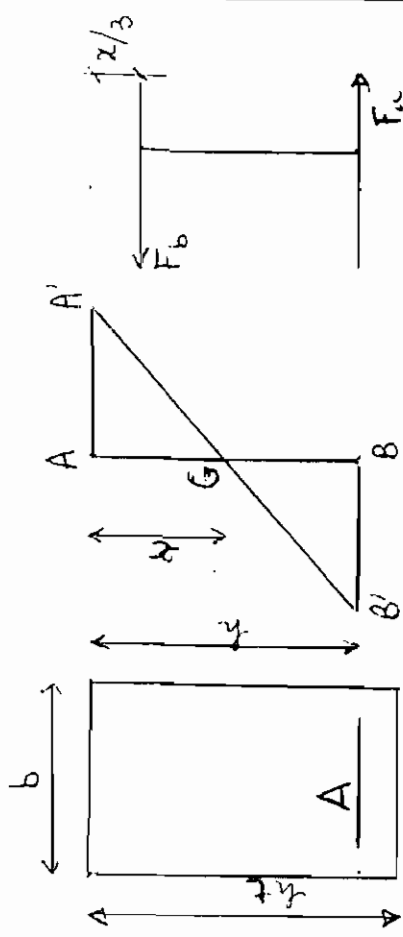
- Pour le CCBA₆₈ le diagramme considéré pour l'équilibre des forces est une répartition triangulaire alors que pour la norme canadienne, la distribution rectangulaire de Whitney à 0,85 f'_c sera adoptée.
- Selon le CCBA₆₈ le coefficient d'équivalence m entre l'acier et le béton est pris égal à 15 alors que la norme canadienne stipule qu'il devient $m = \frac{E_a}{E_b} \approx \frac{200 \cdot 10^3 \text{ MPa}}{5000 \text{ MPa}}$.
Cette valeur de m varie généralement entre 7 à 9
- Au delà de la contrainte admissible de l'acier tendu le CCBA₆₈ suggère de mettre de l'acier compressif tandis que la norme canadienne considère l'acier jusqu'à la limite d'élasticité f_y dans les calculs et même au delà dans la pratique et suggère l'acier de compression à partir d'une valeur de 0,75 Pb (Pb représentant le pourcentage d'acier correspondant à la condition balancée ou rupture ductile dans le cas des pièces fléchies; simultanément l'acier plastique et le béton s'effrera.)

Chapitre IV

F lexion

- 1) flexion d'une section rectangulaire 25
- 2) flexion d'une section en T' 37
- 3) flexion d'une section avec trou central 47
- 4) design d'une botte 52
- 5) Acier minimal 54

CC 8A 68 | Chapitre IV 1. Flexion (Section Rectangulaire) | A 23.3.17

IV-1: Méthode de calcul


a) Forces internes

$$F_b = \sigma_b \frac{bx}{2}$$

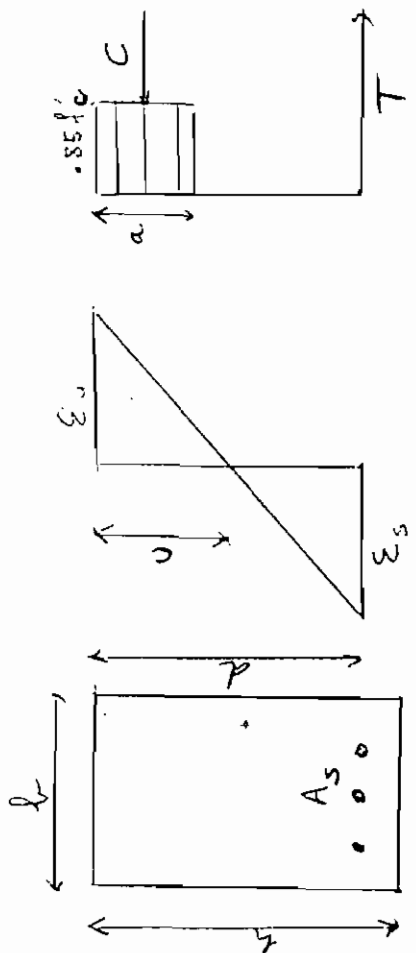
$$F_a = \sigma_a A$$

- équilibre intérieur

$$F_b = F_a$$

- axe neutre

$$\chi = \frac{15}{15 + \frac{15 \sigma_a}{m \sigma_b}} h = \alpha h$$

Méthode de calcul


a) Forces internes

$$C = 0,85 f'_c b \cdot a$$

$$T = A_s f_y$$

$$C = T$$

- équilibre intérieur

$$C = T$$

$$a = \frac{A_s f_y}{0,85 f'_c b}$$

CC 8A 58

Méthode de calcul (suite)

b) bras de levier : (z)

$$z = h - \frac{x}{3} = h \left(1 - \frac{\alpha}{3}\right)$$

$$\text{en posant } z = \left(1 - \frac{\alpha}{3}\right) \text{ on aura}$$

$$z = \epsilon h$$

c) calcul du moment resultant

$$M = A \sigma_a z$$

$$M = \frac{\alpha \epsilon}{2} \sigma_b h^2$$

$$\text{on pose } u = \frac{\alpha \epsilon}{2}$$

$$M = \frac{A S u}{k}$$

On utilise les valeurs en force.

$$\text{on calculera } u = \frac{15 \cdot M}{\bar{\sigma}_a h^2}$$

le tableau 5 sur Annales donne $\bar{\sigma}_a$

d) Determination des armatures

$$A = \frac{M}{\bar{\sigma}_a \epsilon h}$$

Flexion (section rectangle paire) A 23.3 n° 77

Méthode de calcul

b) bras de levier : (d - \frac{a}{2})

$$d - \frac{a}{2} = d - \frac{A_s f_y g' f_c}{2 \times 0,85 f_c} = d - 0,59 \frac{A_s f_y}{f_c' f_c}$$

c) calcul du moment resultant

$$M = \phi A_s f_y \left(d - 0,59 \frac{A_s f_y}{f_c' f_c}\right)$$

$$\phi = 0,9$$

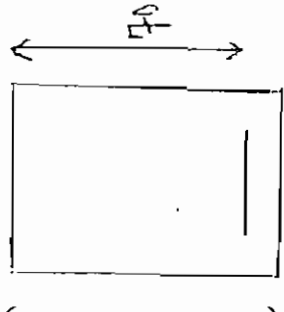
d) Determination des armatures

$$A_s = \left[1 - \sqrt{1 - \frac{4 M_r}{4,7 \phi s d^2 f_c}} \right] \frac{0,85 f_c}{f_y}$$

C.C BA68 | EXEMPLE N°1 DESIGN d'une section Rectangulaire | A 23.3 M72.

Determination d'armatures

Section 30×75
 $M_{TAS} = 16500 \text{ Nm}$
 60% du moment de service
 est dû à la charge permanente



$$\bar{\sigma}_b = 135 \text{ kgf/cm}^2$$

$$\bar{\sigma}_a = 2500 \text{ kgf/cm}^2$$

calculer A_s

$$M = 1 \times (0,6 \times 165) + 1,2 \times (0,4 \times 165) = 178,2 \text{ Nm}$$

$$M = \frac{15 \text{ M}}{\bar{\sigma}_a b h^2} = \frac{15 \times 17820 \text{ Nm}}{(2500 \text{ kgf/cm}^2) (30 \text{ cm})^2 (75)^2 \text{ cm}^2} = 0,0909$$

La tableau 5 en annexe donne pour $\mu = 0,0909$

$$\begin{aligned} \varepsilon &= 0,8789 ; \quad k = 26,3 \Rightarrow \sigma_b = \frac{2500}{26,3} = 76,9 \text{ kgf/cm}^2 \\ A_s &= \frac{M}{\bar{\sigma}_a \varepsilon k} = \frac{17820 \text{ Nm}}{2500 \times 0,8789 \times 76,9} = 14,48 \text{ cm}^2 = A \end{aligned}$$

Determination d'armatures

sont une poulie de 30×75 devant suspendre un moment de service $M_s = 165 \text{ Nm}$
 on suppose que 60% du moment est dû à la charge permanente

$$\text{on a } f'_c = 20 \text{ MPa} \quad f_g = 30 \text{ MPa}$$

calculer A_s

$$M_r = 1,4 \times (1,6 \times 165) + 1,7 \times (0,4 \times 165) = 250,3 \text{ Nm}$$

$$A_s = \left[1 - \sqrt{1 - \frac{4 \cdot M_r}{1,7 \cdot f'_c \cdot b \cdot h}} \right] \frac{0,85 \text{ f'_c } b \cdot h}{f_g}$$

$$A_s = \left[1 - \sqrt{1 - \frac{4 \times 0,2503 \text{ MNm}}{1,7 \times 0,9 \times 0,3 \times 75 \times 100}} \right] \frac{0,85 \times 20 \text{ Nm}}{300}$$

$$A_s = \frac{13,28 \text{ cm}^2}{0,55 / 10} \text{ soit une dimension de } 3,5 \text{ cm A}$$

C.C.BN 63 || Exemple N° 2 Analyse d'une section Rectangulaire || A 23.3 M77

Analyse d'une section fléchue

Determiner en fondum du pourcentage d'acier ω et du rapport de la charge permanente sur la charge de service naturelle ;
 Moment de service M_s que peut supporter une section 30×60 cm et des dimensions telles que $\bar{\sigma}_c = 150 \text{ kg/cm}^2$, $\bar{\sigma}_{\text{ci}} = 230 \text{ kg/cm}^2$

$$1) A = 2 \# 30 = 14 \text{ cm}^2$$

$\omega = 0,88$ de tableau 5 en annexe n° 1

Donne $\mu = 0,145$ $\mu' = 0,178$

$$M_b = \frac{\mu b h^2}{4} \bar{\sigma}_c = 0,145 \cdot 30 \cdot 150^2 \cdot 150$$

$$= 218 \text{ kg/cm} = M_b$$

$$M_u = \frac{\mu}{n} b h^2 \bar{\sigma}_{\text{ci}} = \frac{0,145}{15} \cdot 30 \cdot 150^2 \cdot 230 = 1036 \text{ Nm}$$

Le moment est le plus petit des 2 valeurs M_b et M_u

Analyse d'une section fléchue

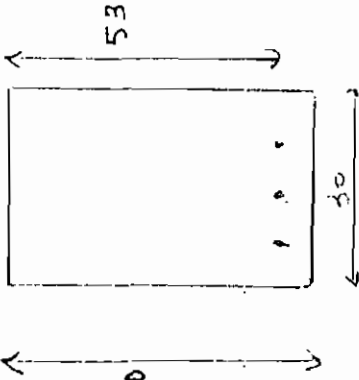
Determiner M_s en fondum du pourcentage fondum de ρ (pourcentage d'acier) et M_D / M_s

$$\begin{aligned} f'_c &= 30 \text{ MPa} \\ f'_y &= 350 \text{ MPa} \end{aligned}$$

$$A) A = 2 \# 30 = 14 \text{ cm}^2$$

$$\begin{aligned} M_r &= \phi A_s f_y \left(d - 0,5y \frac{A_s f_y}{f'_c b} \right) \\ &= 0,9 \cdot 1,4 \cdot 10^{-3} \cdot 350 \left(0,53 - 0,59 \cdot \frac{1,4 \cdot 10^{-3} \cdot 350}{30 \times 2,3} \right) \end{aligned}$$

$$= 920 \text{ kg/cm} = M_r$$



CCA 68

Analyse d'une section fléchie

$$2^{\text{e}} \text{ cas } A = 4 \times 30 = 28 \text{ cm}^2 \quad \bar{w} = 1,76\%$$

de tableau 5 en annexe donne

$$\text{pour } \bar{w} = 1,76\% \quad \varepsilon = 0,8305$$

$$k = 14,5 \quad u' = 0,2112 \quad M = 0,2184$$

le moment résistant sera la

plus petite des valeurs

$$M_r = 423 \text{ kNm}$$

$$H_b = u' \bar{T}_b b h^2 = 0,8305 \times 150 \times 30 \times (53)^2 \\ = 26810 \text{ kNm} = 268 \text{ kNm}$$

$$M_a = \frac{u' \bar{T}_a b h^2}{15} = \frac{0,2184 \times 2300 \times 30 \times (53)^2}{15} \\ M_a = 282 \text{ kNm}$$

$$\Rightarrow M_r = M_b = 268 \text{ kNm}$$

Analyse d'une section rectangulaire

$$2^{\text{e}} \text{ cas } A_s = 4 \times 30 = 28 \text{ cm}^2 \quad \rho = 1,76\%$$

$$M_r = \phi A_s f_y \left[d - \frac{0,59}{f_c} A_s f_y \right]$$

$$M_r = 0,9 \times 2,816^3 \times 350 \left(0,53 - \frac{0,59 \times 2,816^3 \times 350}{30 \times 0,3} \right)$$

$$M_r = 1,76 \%$$

$$\rho < 0,75 \rho_b$$

$$M_r = 423 \text{ kNm}$$

CCBA 68

2^o) Cas (suite)calcul du moment de service

$$M_r = 1 \cdot M_G + 1,2 M_P$$

$$\bullet \frac{M_G}{M_G} = \frac{30\%}{M_S}$$

$$M_r = 1 \cdot M_G + 1,2 M_P$$

$$M_r = 1 \cdot (0,3 M_S) + 1,2 (0,7 M_S) = 268 \text{ kNm}$$

$$\Rightarrow M_S = 235 \text{ kNm}$$

$$\bullet \frac{M_G}{M_G} = \frac{40\%}{M_S}$$

$$M_r = 1,1 (0,4 M_S) + 1,2 (0,6 M_S) = 268 \text{ kNm}$$

$$\Rightarrow M_S = 239 \text{ kNm}$$

$$\bullet \frac{M_G}{M_G} = \frac{50\%}{M_S}$$

$$M_r = 1 \cdot 0,5 M_S + 1,2 (0,5 M_S) = 268 \text{ kNm}$$

$$\Rightarrow M_S = 243 \text{ kNm}$$

$$\bullet \frac{M_G}{M_G} = \frac{60\%}{M_S} \Rightarrow M_S = 248 \text{ kNm}$$

2^o) Cas (suite)calcul du moment de service

$$M_r = 1,4 M_D + 1,7 M_L$$

$$\bullet \frac{M_D}{M_D} = \frac{30\%}{M_S}$$

$$M_r = 1,4 M_D + 1,7 M_L$$

$$M_r = 1,4 (0,3 M_S) + 1,7 (0,7 M_S) = 423 \text{ kNm}$$

$$\Rightarrow M_S = 263 \text{ kNm}$$

$$\bullet \frac{M_D}{M_D} = \frac{40\%}{M_S}$$

$$M_r = 1,4 (0,4 M_S) + 1,7 (0,6 M_S) = 423 \text{ kNm}$$

$$\Rightarrow M_S = 267 \text{ kNm}$$

$$\bullet \frac{M_D}{M_D} = \frac{50\%}{M_S}$$

$$M_r = 1,4 (0,5 M_S) + 1,7 (0,5 M_S) = 423 \text{ kNm}$$

$$\Rightarrow M_S = 273 \text{ kNm}$$

$$\bullet \frac{M_D}{M_D} = \frac{60\%}{M_S} \Rightarrow M_S = 278 \text{ kNm}$$

CCBA 68

Analyse d'une section fléchie

$$3^{\circ}) \text{ Cas } A = 6 \# 30 = 42 \text{ cm}^2 \quad \bar{w} = 2,6\%$$

Le tableau 5 en Annexe donne

$$\text{pour } \bar{w} = 2,6\% \quad \mu = 0,3139 \quad \mu' = 0,2323$$

Le moment sera la plus petite des 2 valeurs

$$M_b = \mu' \bar{\sigma}_b b h^2 = 0,2323 \times 150 \times 30 \times (53)^2 = 293 \text{ kNm}$$

$$M_a = \mu \bar{\sigma}_a b h^2 = 0,3139 \times \frac{2300}{15} \times 30 \times (53)^2 = 405 \text{ kNm}$$

$$M_r = M_b = 293 \text{ kNm}$$

calcul du moment de service :

$$\bullet M_G = 30\% M_s \Rightarrow M_s = 257 \text{ kNm}$$

$$\bullet M_G = 40\% M_s \Rightarrow M_s = 262 \text{ kNm}$$

$$\bullet M_G = 50\% M_s \Rightarrow M_s = 266 \text{ kNm}$$

$$\bullet M_G = 60\% M_s \Rightarrow M_s = 271 \text{ kNm}$$

A 23.3. M. 77

Analyse d'une section rectangulaire

$$3^{\circ}) \text{ Cas } A_s = 6 \# 30 = 42 \text{ cm}^2 \quad \rho = 2,6\%$$

$$M_r = \phi A_s f_y \left(d - \frac{0,59 A_s f_y}{f'_c b} \right)$$

$$\begin{aligned} M_r &= 0,9 \times 4,2 \times 10^3 \times 350 \left(0,53 - \frac{0,59 \times 4,2 \times 10^{-3} \times 350}{30 \times 0,3} \right) \\ &= 0,573 \text{ MNm} \\ &= 573 \text{ kNm} \end{aligned}$$

$$M_r = 573 \text{ kNm}$$

calcul du moment de service :

$$\bullet M_D = 30\% M_s \Rightarrow M_s = 356 \text{ kNm}$$

$$\bullet M_D = 40\% M_s \Rightarrow M_s = 363 \text{ kNm}$$

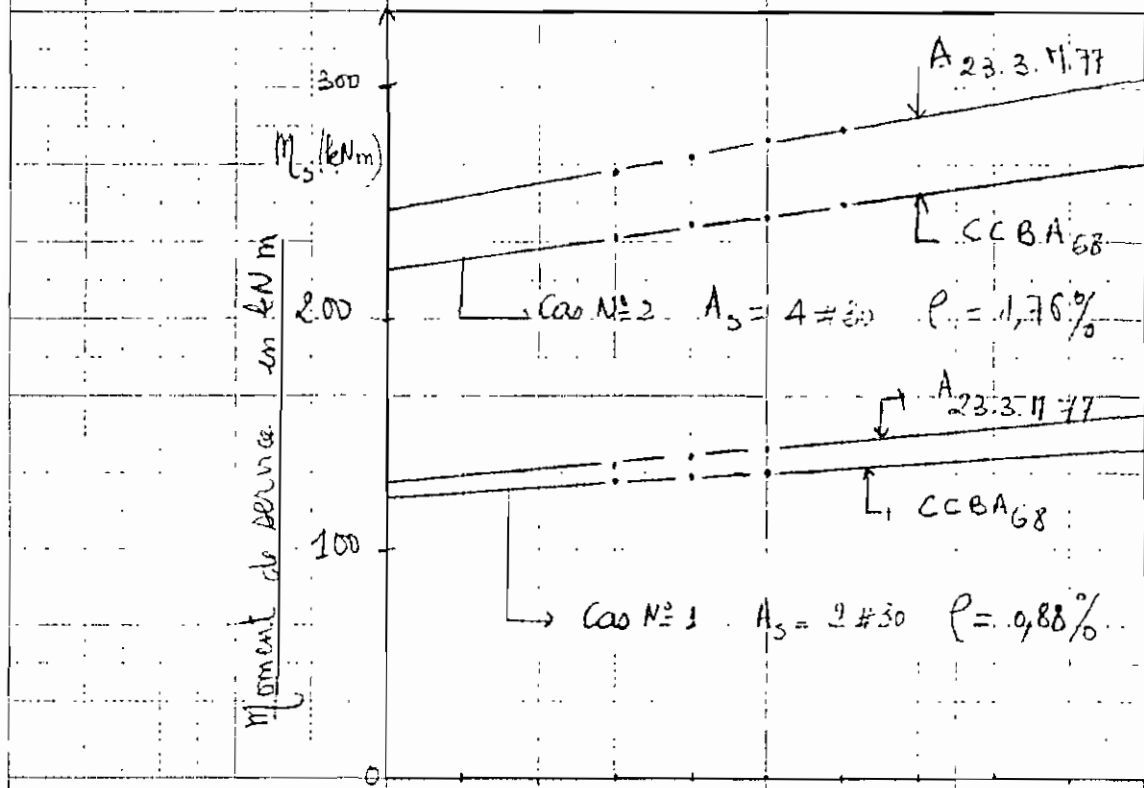
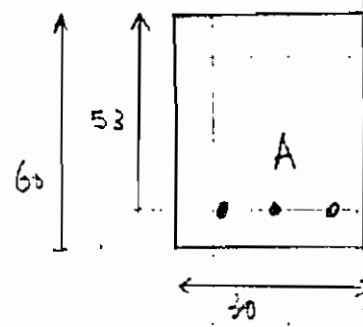
$$\bullet M_D = 50\% M_s \Rightarrow M_s = 370 \text{ kNm}$$

$$\bullet M_D = 60\% M_s \Rightarrow M_s = 377 \text{ kNm}$$

Figure N° III Analyse d'une section Rectangulaire

$$f'_c = 30 \text{ MPa}$$

$$f_y = 350 \text{ MPa}$$



0.1 0.2 0.3 0.4 0.5 0.6 0.7 0.8 0.9 1

Rapport charge permanente sur charge

totale de service (M_0/M_s)

Moment de service M_s en fonction de $\rho = \frac{A_s}{bd}$

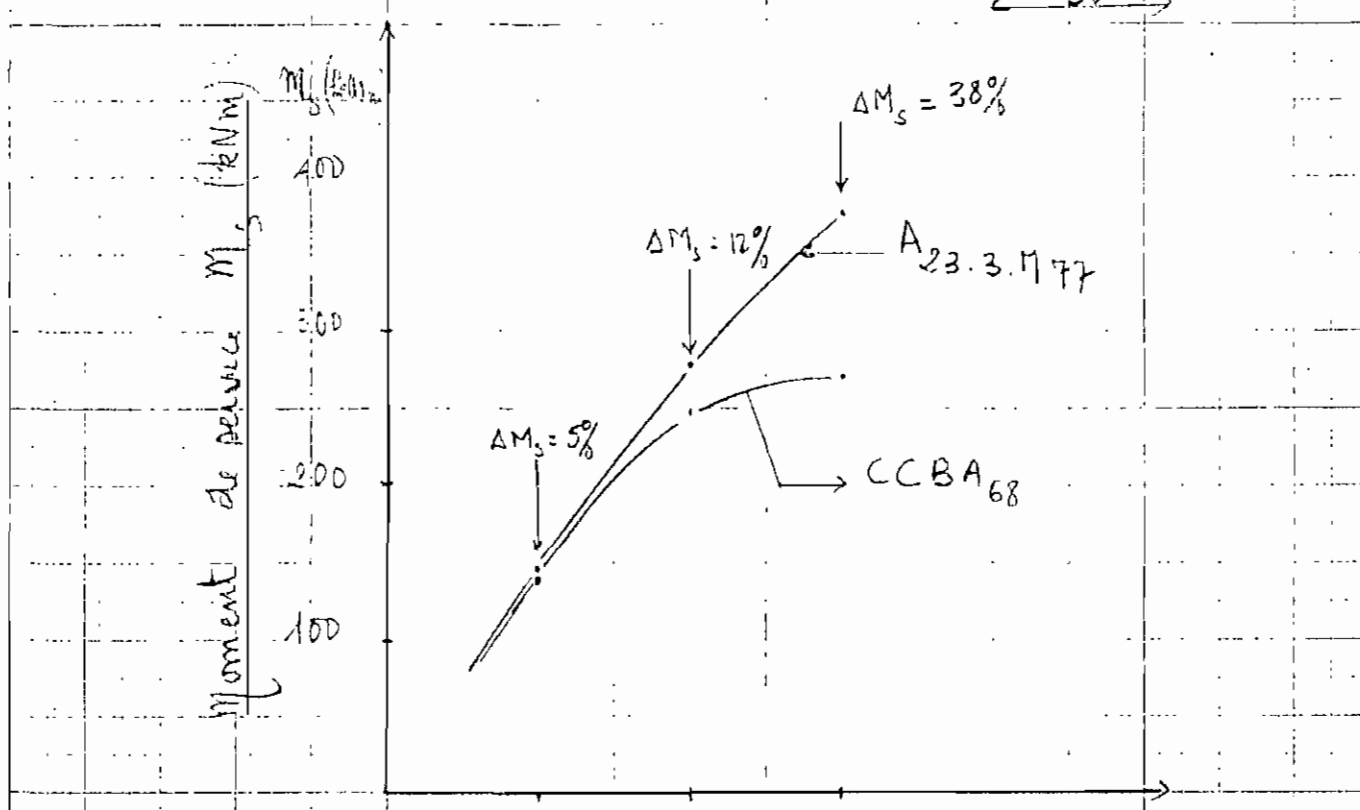
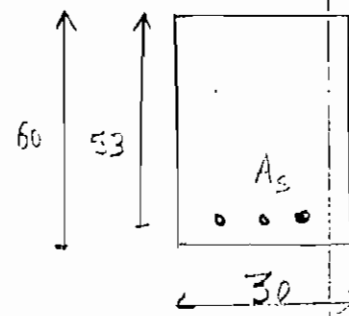
et du rapport charge permanente

sur charge de service (M_0/M_s)

$$f_c = 30 \text{ MPa}$$

$$f_y = 350 \text{ MPa}$$

$$\frac{\text{charge permanente}}{\text{charge de service}} = \frac{M_D}{M_S} = 0,6$$



$$\rho = \frac{A_s}{b d} \quad (\rho \% \text{ au } w)$$

Pourcentage d'acier $\rho \% \text{ au } w$

figure N° IV Moment de service M_s en fonction
du pourcentage d'acier

$$\left(\rho = \frac{A_s}{b d} \right)$$

Explications et Discussions

D'après le graphique on voit que pour de faibles pourcentages d'acier aux environs de 1% les deux méthodes : Canadiennes et Françaises fournissent le même moment de service pour une section et des qualités d'acier et de béton données.

Au pourcentage d'acier optimal selon la méthode des contraintes admissibles ($\bar{w} = 1,63\%$) la norme Canadienne fournit un supplément de 4,7% du moment de service selon l'analyse des contraintes admissibles CCBA₆₈.

Au delà de cette limite les variations de résistances deviennent de plus en plus importantes. Ceci s'explique par le fait selon l'approche des contraintes admissibles (Norme Française) le moment est déterminé par la composante qui cède la première - soit le béton atteint sa contrainte admissible $\bar{\sigma}_b'$ - soit l'acier atteint sa contrainte admissible $\bar{\sigma}_a$.

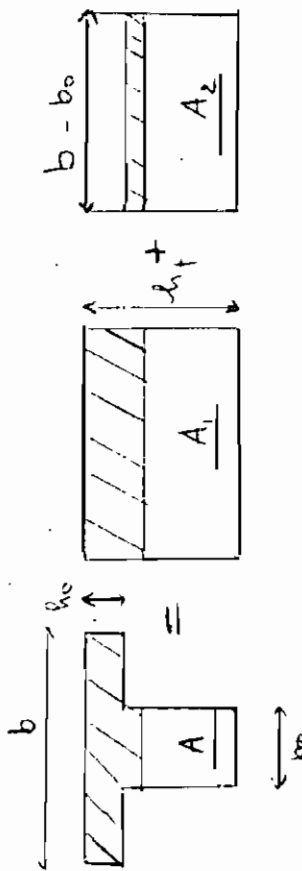
Alors que selon le C.S.A. A 23.3. M₇₇ Code canadien les matériaux Acier et béton travaillent ensemble jusqu'à la rupture.

Nous à pourcentage d'acier élevé
 $\rho = 2,64\%$ la norme canadienne
permet un surplus de 38% pour
le moment de service, calculé à partir
du CCBA 68 : D'où un gain remarquab.
ble malgré des coefficients de
majoration des charges plus élevés
La différence des résultats
s'explique par le fait que la Norme
Française utilise les matériaux à des
contraintes faibles supposées admissibles
tandis que selon la Norme Canadienne
la déformation ultime à la fibre extrême
comprimée pour le béton est toujours
supposée égale à 0,003

CCBA 68	IV-2. Flexion d'une section en Té	A 23.3 M77
<p><u>IV-2-.</u> Longeur de semelle à considérer</p> <ul style="list-style-type: none"> la longeur de houddis à considérer de chaque côté de la mesure ne doit pas dépasser la plus petite de ces 4 valeurs : la moitié de l'intervalle soutenant entre les faces les plus proches des 2 manches le 1/10 de la partie libre de la manche entre les appuis les 2/3 de la distance de la section considérée à l'appui le plus proche le 1/6 de la distance entre points d'application du moment fléchissant et du moment fléchissant 	<p><u>IV-2-</u> Longeur de semelle à considérer</p> <ul style="list-style-type: none"> la longeur effective de la semelle si considérée dans le calcul, dont remise . Ces conditions sont établies : $b_F \leq d = \text{distance entre } \text{et } \text{cul de mortier}$ $b_F \leq b_w + 2 \cdot h_F$ 	<p><u>IV-2-</u> Longueur de la partie continue de la longueur de la partie simple</p> <ul style="list-style-type: none"> $b_F \leq \frac{1}{4} d$ la longueur de la partie continue $b_F \leq 0.4$ de la longueur de la partie simple $b_F \leq b_w + 2 \cdot h_F$

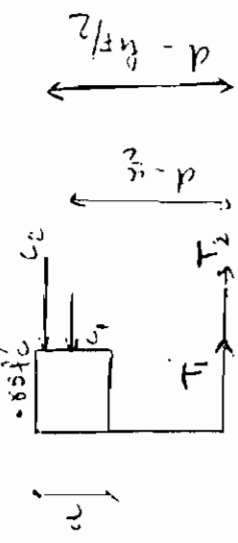
CCBA 68 || Flexion d'une section en Té

- méthode de calcul
- l'axe neutre dans la Tôle
- le calcul se fait de la même façon qu'une section rectangulaire et on prend $b = t_F = \text{largeur de la semelle}$
- l'axe neutre tombe dans l'ame



$$\frac{A_{F1} \cdot \frac{h}{2}}{A_S + A_F} = d$$

$\xrightarrow{\text{I.W}}$

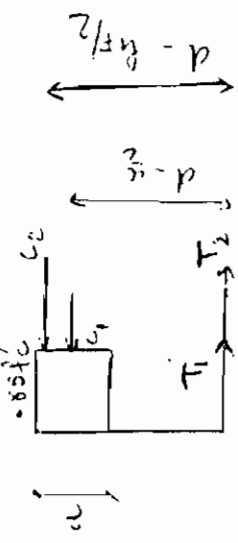


$$\frac{P}{t_F} = \frac{h_w^2}{2} - \frac{h^2}{2}$$

$\xrightarrow{\text{I.W}}$

$$\frac{A_{F1} \cdot \frac{h}{2}}{A_S + A_F} = d$$

$\xrightarrow{\text{I.W}}$

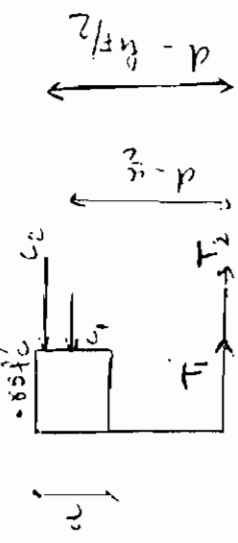


$$\frac{P}{t_F} = \frac{h_w^2}{2} - \frac{h^2}{2}$$

$\xrightarrow{\text{I.W}}$

$$\frac{A_{F1} \cdot \frac{h}{2}}{A_S + A_F} = d$$

$\xrightarrow{\text{I.W}}$



$$\frac{P}{t_F} = \frac{h_w^2}{2} - \frac{h^2}{2}$$

$\xrightarrow{\text{I.W}}$

CCBA 68

Flexion d'une section en Té

Méthode de calcul

$$\text{On pose } \theta = \frac{\ell_{h_0}}{c} ; \quad \beta = \frac{b}{b} \quad \alpha = \frac{y_1}{h}$$

- bras de levier Z

$$z = \left(1 - \frac{\theta}{2} + c\alpha \right) h \quad \text{- avec}$$

$$C = \frac{\rho^3 \beta (1-\beta)^2 (2+\beta)}{6 \left[1 - (1-\beta)(1-\beta)^2 \right]}$$

- moment résistant zet

$$M = A \bar{\sigma}_a z$$

et moment résistant et

$$M_r = \phi \left[(A_s - A_f) F_y \left(d - \frac{a}{2} \right) + A_f F_y \left(d - \frac{h_1 F_y}{2} \right) \right]$$

A 23. 3. M.72

CCBA 68	Exemple N° 3 ANALYSE d'une section en Té Flechie	A 23.3.11 FF
---------	--	--------------

Énoncé Determiner en fonction de

pourcentage d'acciaio ω et du rapport de la charge permanente sur la charge de service totale (M_G/M_s) le moment de service totale M_s que peut prendre la section en Té avec les caractéristiques ci-dessous et des matériaux tels que

$$\bar{\sigma}_b' = 135 \text{ kgf/cm}^2 \quad \bar{\sigma}_a = 2600 \text{ kgf/cm}^2$$

$$\text{Ae (cm)} \quad A = 6,30 \text{ cm}^2$$

$$\bar{\omega} = \frac{A}{bh} = \frac{42}{60 \times 6} = 0,0107 = 1,07\%$$

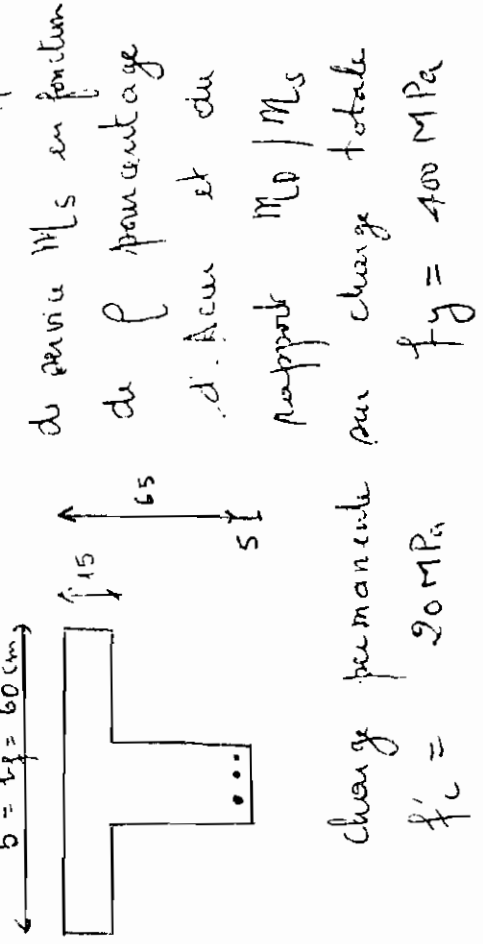
Le tableau 5 en Annexes donne

$$\text{pour } \bar{\omega} = 1,07\% \quad \varepsilon = 0,857 \quad \mu = 0,1378$$

$$\mu' = 0,1837$$

$$z = \varepsilon h = 65 \times 0,857 = 55,7 \text{ cm}$$

Determiner le rapport



$$\text{et } f_c' = 20 \text{ MPa} \quad f_y = 400 \text{ MPa}$$

$$1 \text{ uelas } A_s = 6,30 = 42 \text{ cm}^2$$

da section - Comprimée est-elle rectangulaire

$$\alpha = \frac{A_s f_y}{0,85 f'_c b} = \frac{4,2 \cdot 10^{-3} \times 400}{0,85 \times 20 \times 6} = 0,165$$

$$a = 18,5 \text{ cm} \quad \Rightarrow h_F = 15 \text{ cm}$$

la partie - comprimée est en forme de T'

A1

CCBMA 68	Exemple N°3 Flexion d'une section entière (muni)	A 23.3 177
$d - z = 9,3 \text{ cm} < f_{lo} = 15 \text{ cm}$		
Il n'a pas donc d'une position de chargement		
faire		
moment pour les plus petites de ces 2 valeurs		
$M_a = \frac{\mu \bar{f}_{ct} b h^2}{15} = \frac{0,1378 \times 2800 \times 60 \times (65)^2}{15}$	$\rho_b = 0,0217$	$\rho_w = 0,0258$
$= 605 \text{ kg/cm} = 606 \text{ kNm}$	$\rho_{min} \leq \rho_w \leq 0,75 (\rho_b + \rho_F)$	$\rho_{max} = 0,0035$
	$0,0035 < 0,00255 < 0,0266$	
	O. K.	la rupture sera ductile
	- calcul du moment résistant	
	$\sigma = \frac{(A_s - A_F) f_y}{0,85 f'_c b_{ew}} = \frac{1,97 \cdot 10^{-3} \times 450}{0,85 \cdot 1'200 \times 0,25}$	
	$M_r = M_a = 606 \text{ kNm}$	$= 0,185 > 0,15 \text{ m}$
		$M_r = \phi [(A_s - A_F) f_y (d - \frac{\alpha}{2}) + A_F f_y (d - f_F/2)]$
		$M_r = 0,9 \left[1,97 \cdot 10^{-3} \times 450 (0,65 - 0,185) + 2,23 \cdot 15^{-3} \times 400 (0,65 - 0,15) \right]$
		$= 0,857 \text{ MNm} = 857 \text{ kNm} = M_r$

C.C. 68

Calcul de m_s

$$M_r = 1 \times M_G + 1,2 M_p$$

$$- \underline{M_G = 0,60 M_s}$$

$$M_r = 1 \times (0,50 M_s) + 1,2 (0,40 M_s) = 60,6 \text{ kNm}$$

$$\Rightarrow M_s = 56,1 \text{ kNm}$$

$$- \underline{M_G = 0,50 M_s}$$

$$M_r = 1 \times (0,50 M_s) + 1,2 (0,50 M_s) = 60,6 \text{ kNm}$$

$$\Rightarrow M_s = 56,1 \text{ kNm}$$

$$- \underline{M_G = 0,40 M_s}$$

$$M_r = 1,4 (0,50 M_s) + 1,7 (0,50 M_s) = 85,7 \text{ kNm}$$

$$\Rightarrow M_s = 55,3 \text{ kNm}$$

$$M_s = 54,1 \text{ kNm}$$

$$\Rightarrow M_s = 54,1 \text{ kNm}$$

A 23.3.1977

C.C. 68

Calcul du M_s

$$M_r = 1,4 M_D + 1,7 M_L$$

$$- \underline{M_D = 0,60 M_s}$$

$$M_r = 1,4 (0,60 M_s) + 1,7 (0,40 M_s) = 85,7 \text{ kNm}$$

$$\Rightarrow M_s = 56,4 \text{ kNm}$$

$$- \underline{M_D = 0,50 M_s}$$

$$M_r = 1,4 (0,50 M_s) + 1,7 (0,50 M_s) = 85,7 \text{ kNm}$$

$$\Rightarrow M_s = 55,3 \text{ kNm}$$

$$- \underline{M_D = 0,40 M_s}$$

$$M_r = 1,4 (0,40 M_s) + 1,7 (0,60 M_s) = 85,7 \text{ kNm}$$

$$M_s = 54,2 \text{ kNm}$$

Les moments de poutre sont égaux
selon les 2 normes à 0,5% près

A3

CCBAS

$$2) \text{ (a)} \quad A_s = 3 \# 30 = 21 \text{ cm}^2$$

$$\omega = \frac{A}{bh} = \frac{21}{60 \times 65} = 0,0054 = 0,54\%$$

Pour $\bar{\omega} = 0,54\%$ le tableau 5 donne
annexes

$$\Sigma = 0,8901 \quad M = 0,0721 \quad M' = 0,1467$$

Le moment pour la plus petite
des 2 valeurs

$$M_a = \mu \frac{\bar{\sigma}_n b h^2}{15} = 0,0721 \times 2640 \times 60 \times [65]^2$$

$$= 303 \text{ kNm}$$

$$M_b = \mu' b h^2 \bar{\sigma}'_b = 0,1467 \times 60 \times [65]^2 \times 135$$

$$M_b = 502 \text{ kNm}$$

$$M_r = M_a = 303 \text{ kNm}$$

A 23.3 M_r

$$2) \text{ (a), } A_s = 3 \# 30 = 21 \text{ cm}^2$$

la partie comprimée est elle rectangulaire ?

$$a = \frac{A s f_y}{0,85 f_c b} = \frac{2,1 \times 10^{-3} \times 450}{0,85 \times 20 \times 0,6} = 0,0525$$

$a < h_F$ la partie comprimée est rectangulaire

deformation de la acier

$$\epsilon_s = \frac{d - c}{c} \cdot \epsilon_u = \frac{0,65 - 0,097}{0,097} \times 0,003 = 0,012$$

$$\epsilon_s = 0,012 > \epsilon_y = \frac{F_y}{E_s} = 0,002$$

La acier p' le coule , donc

$$M_r = d \cdot \epsilon_s f_y \left(d - \frac{a}{2} \right) = 0,9 \times 2,1 \times 10^{-3} \times 450 \times 0,9 \times 2,1 \times 10^{-3} \times 450 \times 0,65 - 0,0825$$

$$M_r = 0,460 \text{ MNm} =$$

$$M_r = 460 \text{ kNm}$$

CCBA 68

A 23.3.1977

Calcul de M_s

$$M_r = 1 \times M_g + 1,2 M_p$$

$$\underline{M_g = 0,30 M_s}$$

$$M_r = 1 \times (0,3 M_s) + 1,2 (0,7 M_s) = 303 \text{ kNm}$$

$$\Rightarrow M_s = 266 \text{ kNm}$$

$$\underline{M_g = 0,50 M_s}$$

$$M_r = 1 \times (0,50 M_s) + 1,2 (0,50 M_s) = 303 \text{ kNm}$$

$$\Rightarrow M_s = 275 \text{ kNm}$$

$$\underline{M_g = 0,70 M_s}$$

$$M_r = 1 \times (0,70 M_s) + 1,2 (0,3 M_s) = 303 \text{ kNm}$$

$$\Rightarrow M_s = 286 \text{ kNm}$$

Calcul de M_s

$$M_r = 1,4 M_d + 1,7 M_L$$

$$\underline{M_d = 0,30 M_s}$$

$$M_r = 1,4 (0,3 M_s) + 1,7 (0,7 M_s) = 460 \text{ kNm}$$

$$\Rightarrow M_s = 297 \text{ kNm}$$

$$\underline{M_d = 0,50 M_s}$$

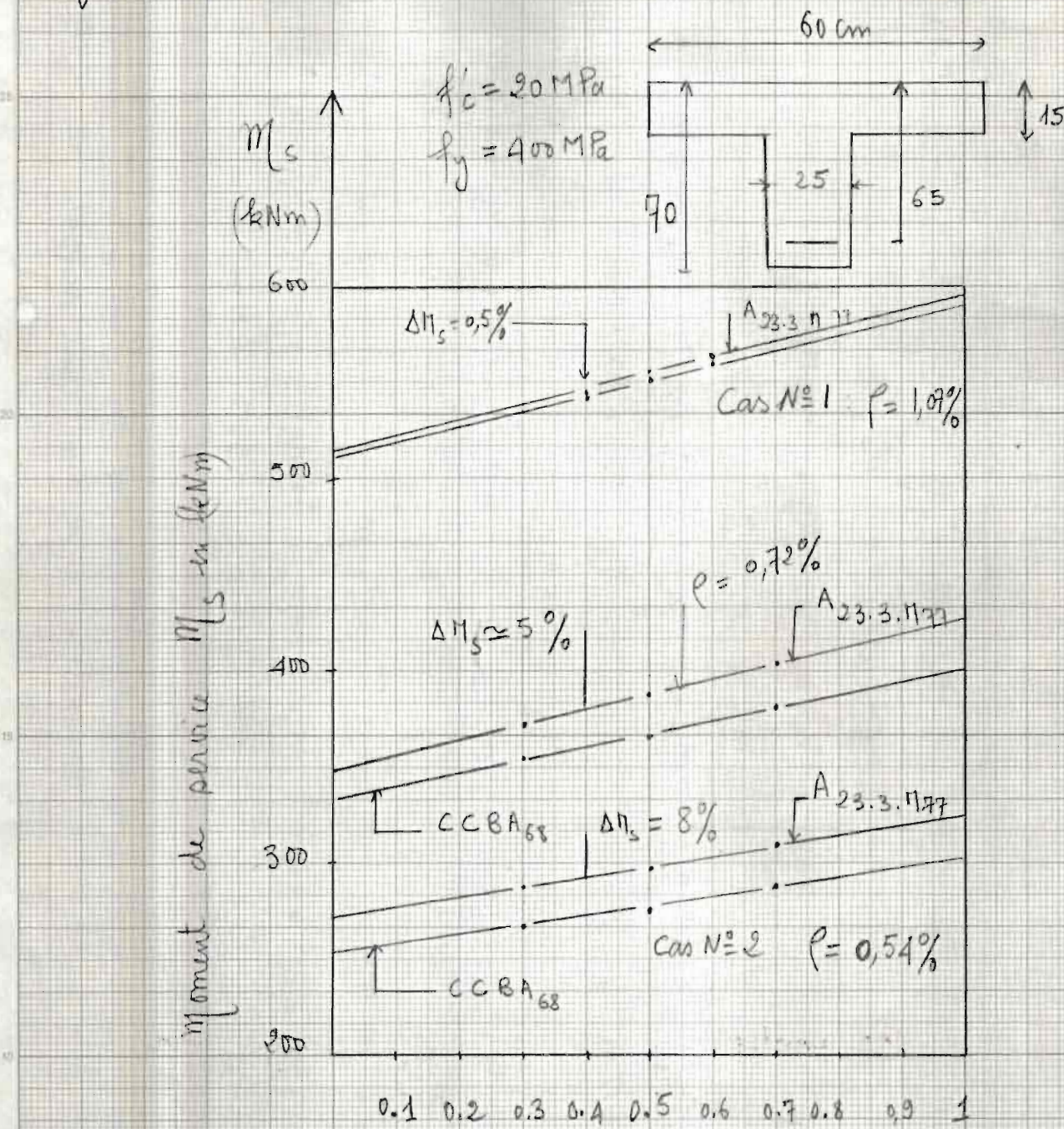
$$M_r = 1,4 (0,50 M_s) + 1,7 (0,50 M_s) = 460 \text{ kNm}$$

$$\Rightarrow M_s = 309 \text{ kNm}$$

On a une augmentation de 8% du moment de service par rapport au CCBA₆₈

Figure N° V

Analyse d'une section en T0'



Rapport $\frac{M_D}{M_s} = \frac{\text{charge permanente}}{\text{charge de service}}$

Moment de service M_s en fonction du
pourcentage d'Acier $\rho \% = \frac{A_s}{bd} \times 100$ et
du rapport M_D/M_s

Explorations et discussions

D'après cette famille de courbes on voit que le moment de service augmente en mesure que la charge permanente augmente cela étant du au fait que le coefficient de majoration des poussées d'exploration tenant compte des effets dynamiques est plus élevé.

D'autre part plus la quantité d'acier augmente au niveau de la section plus les 2 méthodes se rapprochent variation de 0,5% du moment de service pour $P_w = 2,58\%$ = pourcentage d'acier. Ceci est du au fait l'une reprend une bonne partie de la compression déjà à ce taux d'acier élevé. Selon les contraintes admissibles, la section en Té est analysée comme étant une section rectangulaire de largeur effective b en entier alors que tel n'est pas le cas selon le code canadien C.S.A. A 23.3.M.77

A faible pourcentage d'acier la analyse du code canadien devient plus économique (voir figure)

C C B A 68

Exemple N° 4 Fluxus d'une section

Rectangulaire avec A_c en comprimé

$A_{23.3} M_{77}$

47

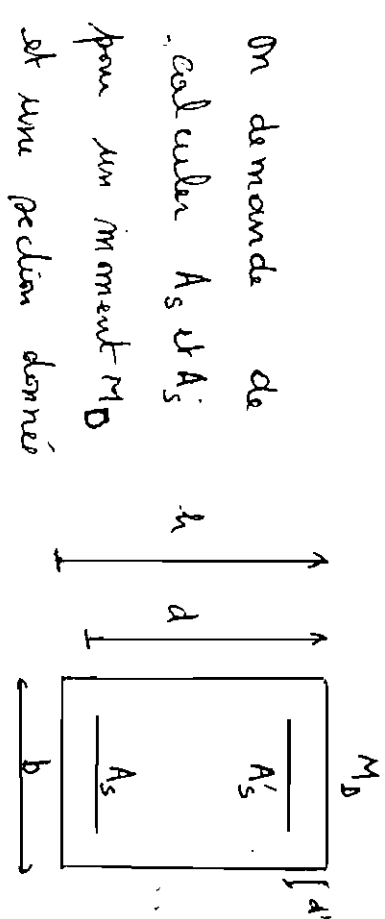


On demande de déterminer A et A' pour un moment M et une section de

des caractéristiques du matériau données

$\bar{\sigma}_a$ et $\bar{\sigma}'_b$ connues

- On calcule $\mu = \frac{15M}{\bar{\sigma}_a b h^2}$ et à l'aide du tableau 5 les fibres
- détermine le
- calculer $\sigma'_b = \frac{\bar{\sigma}_a}{k}$



On demande de calculer A_s et A'_s pour un moment M_D et une section donnée

f'_c et f_y données

- On calcule les paramètres suivants

- * - $\beta_1 = 0,85$ si $f'_c \leq 27,5 \text{ MPa}$
- $\beta_1 = 0,85 - 0,05 \left(\frac{f'_c - 27,5}{6,9} \right)$ si $f'_c > 27,5 \text{ MPa}$
- * - $\rho_b = 0,85 \beta_1 \frac{f'_c}{f_y} \frac{600}{600 + f_y}$

$$A_s = \left[1 - \sqrt{1 - \frac{4M_x}{1.7 \phi b d^2 f'_c}} \right] \frac{0,85 f'_c b d}{f_y}$$

C.C.BA 63

Eléments fléchis ne consistant de l'acier comprimé

A 23.3 n° 77

- calculer : A_{smax} permis par la corde
 $A_{smax} = 0,75 \rho_b \cdot b \cdot d$
- critère de déclusion

si $\sigma'_b > \bar{\sigma}'_b$ il faut mettre de l'acier comprimé
 - il faut faire travailler les matériaux
 à leurs contraintes admises

- on calcule $\alpha = \frac{\bar{\sigma}_a}{\bar{\sigma}'_b}$ on a
 d'après le tableau 5 en annexes
 les valeurs $\bar{\omega}$ et μ'
- calculer $M_b = \mu' \bar{\sigma}'_b b h^2$
- $\Delta M = M - M_b$
- calculer σ'_a
- calculer $A' = \frac{\Delta M}{\sigma'_a}$
- calculer $A = A' + \frac{w b h}{100}$

- calculer $M_{R1} = \phi (A_s - A'_s) f_y \times (d - \frac{\alpha}{2})$
- $M_{R2} = M_D - M_{R1}$
- calculer f'_s
- calculer $A'_s = \frac{M_{R2}}{\phi f'_s (d - d')}$
- " " $A_s = l_{max} b d + A'_s$

CCBA 68

Flexion d'une section rectangulaire avec $A_{\text{cu}} \text{ comprimé}$

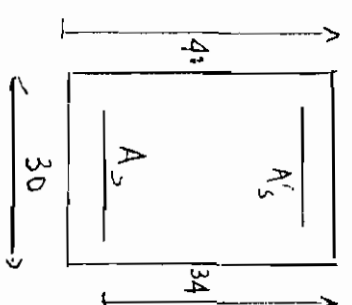
A 23.3.177

Determiner l'acier requis pour une section de 30×40 devant subir les charges suivantes

$$M_p = 4800 \text{ kgm}$$

$$\bar{\sigma}'_b = 137 \text{ kgf/cm}^2$$

$$\bar{\sigma}_a = \bar{\sigma}'_a = 300 \text{ kgf/cm}^2$$



$$\text{et } M_b = 7240 \text{ kgm}$$

$$M_L = 48 \text{ kgm}$$

$$f_c' = 27 \text{ MPa}$$

$$f_y = 400 \text{ MPa}$$

- 1) Vérifions si des armatures comprimées sont nécessaires

1) Vérifions si de l'acier comprimé est nécessaire

$$M_r = 1,4 M_b + 1,7 M_L$$

$$= 1,4 \cdot 7240 + 1,7 \cdot 48 = 132,96 \text{ kgm}$$

$$M = 1 \times 7240 + 1,2 \times 4800 = 13000 \text{ kgm}$$

$$M = \frac{15 \times 13000}{30 \times (34)^2} = 0,1844$$

Pour cette valeur de M le

acier \Rightarrow la valeur σ donne $k = 15,2$

$$P_b = 0,85 \times 0,85 \times \frac{27}{400} \times \frac{600}{600 + f_y} = 0,02477$$

CCBA 68

Flexion d'une section rectangulaire avec acier comprimé A 23.3 1177

La contrainte dans le béton parait

$$\sigma_b = \frac{3000}{16,2} = 185 \text{ kg/cm}^2 > 137$$

$\bar{\sigma}'_b > \bar{\sigma}'_b$ il faut de l'acier de
com'pression

On utilise les contraintes admissibles

$$k = \frac{\bar{\sigma}''_u}{\bar{\sigma}'_b} = \frac{3000}{137} = 21,9$$

Le tableau 5 en Annexe donne

$$M_u = 0,1757 \quad \alpha = 0,4065 \quad \bar{\omega} = 0,928$$

Le moment résistant par le béton parait

$$M_b = u^* b h^2 \bar{\sigma}'_b = 0,1757 \times 30 \times 34 \times 137$$

$$= 834 \text{ Nm}$$

$$\Delta M = M - M_b = 465 \text{ Nm}$$

$$\bar{\sigma}'_a = m \left(\frac{\alpha - \epsilon'}{\alpha} \right) \bar{\sigma}'_b = 15 \frac{0,4065 - \frac{21}{34} \times 137}{0,4065}$$

$$= 1460 \text{ kg/cm}^2 < \bar{\sigma}_a$$

$$A_s \text{ max} = 0,75 \rho_b \cdot d$$

$$= 0,75 \times 0,02477 \times 30 \times 34 = 18,94 \text{ cm}^2$$

$$A_s = \left[1 - \sqrt{1 - \frac{4 M_r}{A_s \phi b d f_y}} \right] \frac{0,75 \rho'_b b d}{f_y}$$

$$A_s = \left[1 - \sqrt{1 - \frac{4 \times 0,18296}{A_s \times 0,9 \times 0,3 \times 0,34 \times 21}} \right] \frac{0,75 \times 21 \times 0,3 \times 0,34}{450}$$

$$A_s = 1,7598 \text{ } 10^{-3} \text{ m}^2$$

$$A_s = 1,7598 \text{ cm}^2 < A_{s \text{ max}} = 18,94 \text{ cm}^2$$

CCBA 68

Flexion d'une section rectangulaire avec acier comprimé

A 23.3 777

$$A' = \frac{\Delta M}{(h - d') \sigma'_a} = 10,62 \text{ cm}^2$$

$A_s = 0$: Pas besoin d'armature
comprimée

$$A = \frac{wh}{100} + A' = 0,928 \cdot \frac{30 \times 34}{100} + 10,62$$

$$A = 20,08 \text{ cm}^2$$

$$A_T = A + A' = 30,70 \text{ cm}^2$$

$$A_s = 17,6 \text{ cm}^2$$

$$A_T = A_T, 6 \text{ cm}^2 = A_s$$

Sont une économie de 42% d'acier

des 2 normes suggèrent de mettre de l'acier comprimé
évidemment si c'est nécessaire. Mais la norme
Française travaille aux contraintes admises attend
par limite leur durant

C C B A 63 || Exemple N° 5. DESIGN d'une poutre

A 23.3 M 77

Problème Dimensionner une poutre

Simple de 8 m de longueur devant supporter une charge permanente de

450 kg/m et une charge permanente de

$$\bar{\sigma}_b' = 125 \text{ kgf/cm}^2 \quad \bar{\sigma}_n = 2600 \text{ kgf/cm}^2$$

$$\delta_b = 2350 \text{ kgf/m}^3$$

Poids propre.

Une arêteure 20x40

$$0,4 \times 0,2 \times 1 \text{ m} \times 2350 \text{ kgf/m}^3 = 190 \text{ kgf/m}^3$$

$$q_d = 1 (450 + 190) + 1,2 \times 1050$$

$$= 1900 \text{ kgf/m}^2$$

$$M = \frac{q \ell^2}{8} = \frac{1900 \times 6^2}{8} = 8550 \text{ kgf.m}$$

Les résultats sont composés

sur la tableau de la page suivante

Faire plusieurs choix de

actions et leurs analogues



$$q_d = 4,5 \text{ kN/m}$$

$$q_u = 16,5 \text{ kN/m}$$

$$f_c' = 25 \text{ MPa}$$

$$f_y = 400 \text{ MPa}$$

Poids propre :

$$0,4 \times 0,2 \times 1 \text{ m} \times 23,5 \text{ kgf/m}^3 = 1,9 \text{ kgf/m}^3$$

$$w_d = 1,4 (4,5 + 1,9) + 1,7 \times 10,5$$

$$= 26,8 \text{ kN/m}$$

$$M_1 = \frac{w_d \ell^2}{8} = 120,6 \text{ kNm}$$

$$\rho_b = 0,85 \frac{f'_c f'_y}{f'_y} \frac{G_m}{G_m + f'_y} = 0,0271$$

CCBA₆₈

Design d'une partie

A_{23.3} H₇₇

Les résultats ainsi trouvés dépendent de la valeur de d et du σ utilisée.

$$K_u = \phi f_y (1 - 0.59 \frac{\rho_f}{f'_c})$$

$$bd^2 = \frac{M_d}{K_u} 10^6$$

d	b	$B = b-d$	A	A_{total}
cm	cm	cm	cm ²	cm ²
45	23	1035	8,41	8,41
43	29	946	8,88	8,88
42	24	882	9,99	9,99
41	20,5	840	9,80	9,80
34,5	19	655	13,74	13,74

ρ/ρ_0	ρ	d	b	A_s
-	-	cm	cm	cm ²
-3	0,0081	45	23	8,38
-3,5	0,0095	43	22	8,99
-37,5	0,0162	42	21	9,
-4	0,0108	41	20,5	9,08
-75	0,0203	34,5	19	13,3

$$A_{\text{Total}} = A + A'$$

pas d'autre de compression.

C C B A 68	A acier minimal	A 23.3 M77
<p>Renforcement pour la température et le refroidissement</p> <p>a) dalles</p> <p>Pour les plaques rectangulaires appuyées sur leur contour si w_y et w_x sont les % des bandes de longueur b des armatures longitudinales tendues depuis suivant les 2 forces f_x et f_y avec $\rho = \frac{f_x^2}{\sigma_{st}^2} \leq 1$</p> <p>et de hauteur nulle f_x et f_y</p> <p>-) quelle que soit la valeur de ρ</p> $w_x \geq \frac{4}{2} (2 - \rho) \frac{\bar{\sigma}_b}{\bar{\sigma}_{st}} \left(\frac{h_0}{k_x} \right)^2$ <p>(2) - pour</p> $w_y \geq 0,35 \psi_y \frac{\bar{\sigma}_b}{\bar{\sigma}_{st}} \left(\frac{h_0}{k_y} \right)^2$ <p>- pour $0,4 < \rho \leq 1$</p> $w_y \geq \frac{4}{2} (4 + \rho) \frac{\bar{\sigma}_b}{\bar{\sigma}_{st}} \left(\frac{h_0}{k_y} \right)^2$	<p>Renforcement pour la T_c et le refroidissement</p> <p>a) dalles</p> <p>Pour les dalles unidirectionnelles d'acier dans la direction perpendiculaire à la direction pour réduire d'autant plus les exigences suivantes</p> <p>pour respecter tout temps les exigences suivantes donc $\frac{f_x}{\sigma_{st}} < 0,5$</p> <p>-1) $\rho_{min} = 0,0014$ et dans aucun cas jamais espacés de plus de 5 fois l'épaisseur de la dalle et jamais plus que 50 mm</p> <p>-2) dépendant du type d'acier utilisé</p> <ul style="list-style-type: none"> a) Acier ordinaire $0,0025$ b) Acier ayant $f_y < 400 \text{ MPa}$ $0,0020$ c) Acier sans d'i et ordinaire ($f_y = 400 \text{ MPa}$) $0,0018$ d) Acier $f_y \geq 400 \text{ MPa}$; $\epsilon = 0,35\%$ $\frac{0,0018 \times 150}{f_y}$ 	

b) Abatue

$$\bar{\omega}_{\min} \geq \psi_4 \frac{\bar{f}_y}{\bar{\sigma}_a} \left(\frac{\rho_a t}{t_c} \right)^2$$

- \bar{b} (= b_0) : danger de la mercure
- $\bar{\sigma}_b$ et $\bar{\sigma}_a$ représentent respectivement les contraintes de traction du béton et d'armure de l'acier
- $t_c =$ hauteur totale de l'
- $t_c = t_x + t_y$ hauteur nulle de la
face
- ψ_4 un coefficient qui prend les
modulus à la place

b) Porteur

$$\rho_{\min} = \frac{1,4}{f_y}$$

f_y = limite d'élasticité de l'acier utilisée
exprimée en MPa

$$\psi_4 = 0,36 \text{ pour les aciers bruts de laminage}$$

$$\psi_4 = 0,54 \text{ pour les aciers écurvis}$$

c) Colonnes

$$\bar{w}_t \geq \frac{1,25}{100} \theta_1 \theta_2 \theta_3 \frac{\sigma'_m}{\sigma'_{bx}}$$

$$\text{et} \quad \bar{w}_t \geq \frac{1,5}{100} \theta_1 \theta_2 \frac{\sigma'_m}{\sigma'_{bx}}$$

Le coefficient θ_1 tient compte des particularités dimensionnelles de la charge

$\theta_1 = 1,8$ pour un diamètre

$\theta_1 = 1,4$ pour une autre

$\theta_1 = 1,$ autres formes

Le coefficient θ_2 tient compte des dimensions de la pièce

$$\theta_2 = 1 + \frac{k_c}{4a - 2c}$$

c) Colonnes

$$\rho_{min} = 1\%$$

CCBA 68

Acié minimal

A 23.3 1722

- colonnes (ouïe)

le coefficient θ_3 tient compte de
l'acier utilisé

$$\theta_3 = 1 + \frac{2160}{\sigma_{en}}$$

Gen. limite d'enduit nominale de

l'acier en bars

$a =$ plus petite dimension transversale
de la poutre

σ_m : contrainte moyenne de compression

σ_{bo} = contrainte de compression simple admisible

δ_c = longueur du flambement
dépend des conditions de retenues

a) dalle exemple numérique

determiner l'acier minimal pour une dalle sur appuis simples de longueur 4 m et de largeur 1,40 m d'épaisseur 0,20 m, on a de l'acier brut de tensionneur $\bar{\sigma}_t = 7$ bars $\bar{\sigma}_a = 160$ bars

avec but de l'armage $f_u = 35$

$$\rho = \frac{\rho_x}{\rho_y} = \frac{1,4}{4,0} = 0,35 \quad h_0 = 20 \text{ cm}$$

$$h_x = 20 - (2 + 0,6) = 17,4 \text{ cm}$$

$$- \bar{w}_x \geq \frac{0,35}{2} \left(2 - 0,35 \right) \frac{27}{1600} \left(\frac{20}{17,4} \right)^2$$

$$w_x \geq 0,00171$$

$$\bar{w}_y \geq -0,35 \times 0,35 \times \frac{27}{1600} \left(\frac{20}{17,4} \right)^2$$

$$w_y \geq 0,00754$$

a) dalle: exemple numérique.

dalle minime d'épaisseur $\delta = 0,35 < 0,5$

$$f_y = 300 \text{ MPa} < 400 \text{ MPa}$$

on suppose qu'on a de l'acier ordinaire

$$\rho_{\min} = 0,0020$$

b) pointe: exemple numérique

Déterminer l'acier minimal pour la
pointe telle que
 $l_{st} = 50 \text{ cm}$ $h = 46 \text{ cm}$ $b_2 = 20 \text{ cm}$

on suppose que $\bar{\sigma}_p = 7 \text{ bars}$

l'acier est enroulé $\bar{\sigma}_{ac} = 2800 \text{ bars}$

$$-d'au \quad f_u = 0,54$$

$$\bar{\omega}_{min} = 0,54 \left(\frac{7}{2800} \right) \left(\frac{50}{46} \right)^2$$

$$= 0,0018$$

b) pointe: exemple numérique

déterminer l'acier minimal de
température et de section d'une
pointe en T ayant les dimensions

suivantes :

$$l_{st} = 50 \text{ cm} \quad d = 46 \text{ cm} \quad b_2 = 20 \text{ cm}$$

Avec $f_g = 400 \text{ MPa}$

$$\bar{\omega}_{min} = 1,4 / 400$$

$$= -0,0035$$

CCBA 6s

Acier minimal

A 23.3 M77

c) - colonne

Soit un poteau intérieur de longueur

$l = 3 \text{ m}$ et de dimension $50 \times 15 \text{ cm}$

Supportant une charge axiale de 40 tonnes
la combinaison $\sigma_{60} = 57,5 \text{ MPa}/\text{cm}^2$

$$\bar{w}_t \geq \frac{1,25}{100} \theta_1 \theta_2 \theta_3 \frac{\sigma'_m}{\sigma_{60}}$$

$$\theta_1 = 1 \quad \theta_3 = 1 + \frac{2,160}{4,000} = 1,54$$

$$\theta_2 = 1 + \frac{0,7 \times 3000}{4 \times 15 - 2 \times 3} = 4,9$$

$$\bar{w}_t \geq \frac{1,25}{100} \times 1 \times 4,9 \times 1,54 \times \frac{40000}{50 \times 15} \times \frac{1}{57,5}$$

$$w_t \geq 0,60875$$

$$w_t \geq \frac{1,25}{100} \theta_1 \theta_2 \frac{\sigma'_m}{\sigma_b} = 0,609$$

$$\text{Mais } w_t \leq 0,606 \Rightarrow w_{t_{\min}} = 0,606$$

c) - colonne

$$\rho_{\min} = 1\%$$

Conclusions sur la flexion

Pour ce mode de sollicitation : flexion nous remarquons que chacune des deux normes possèdent un optimum, appelé conditions balancées pour le code canadien. Cette condition correspond à une armature de tension telle que l'écoulement de l'acier se fait simultanément avec l'écoulement du béton.

L'équivalent de cette condition balancée canadienne n'est pas très explicite dans le code Français où il correspond à une armature de tension telle que l'acier et le béton atteignent simultanément leurs contraintes admissibles respectives $\bar{\sigma}_a$ et $\bar{\sigma}_b$.

Pour de faibles sollicitations nécessitant que le minimum d'acier la norme française permet une économie d'acier.

Tel est le cas pour l'acier minimal :

- des colonnes
- des poutres pour le moment avant, fissuration du béton tendu
- des dalles Acier de température et de retrait

Chapter V

Sections Comprises

CCBA₆₈

Chapitre V Sections Comprimées

A23.3 M 77

V-1 Condition d'élancement

L'élancement est défini comme étant le rapport à

$$\lambda = \frac{l_c}{r}$$

l_c : longueur de flambement

r : rayon de gyration

Pièce courte

Une pièce est dite courte si

$$\lambda = \frac{l_c}{r} < 50$$

Ceci équivaut pour une colonne rectangulaire

$$\lambda = \frac{l_c}{a} < 14.4$$

a = plus petite dimension

- Autrement la colonne est élancée

V-1 Condition d'élancement

L'élancement est défini comme étant le rapport à $\lambda = \frac{k L_u}{r}$

k coefficient dépendant des ressorts

L_u longueur non supportée

r rayon de gyration

Pièce courte

Une colonne est dite courte si :

- élément contreventé $\frac{k L_u}{r} < 34 - 12 \frac{M_1}{M_2}$

- élément non contreventé $\frac{k L_u}{r} < 22$

M_1, M_2 représentent respectivement les plus petits et plus grands moment d'extrémités

- Autrement la colonne est dite élancée

CCBA 68

Éléments comprimés

A 23.3 M 77

- colonne - courte

$$N = \sigma_b' (B + 15A)$$

B section de béton A = section d'acier

main $A \geq A_{min}$

$$A_{min} \geq \frac{1,125}{100} \theta_1 \theta_2 \theta_3 \frac{N}{\sigma_{bs}'}$$

$N =$ effort normal

$\theta_1 = 4$ poteau intérieur

$\theta_2 = 1,4$ poteau de façade

$\theta_3 = 1,8$ poteau d'angle

$$\theta_2 = 4 + \frac{l_c}{4a - 2c}$$

$$\theta_3 = 1 + \frac{2160}{\sigma_{en}}$$

l_c = longueur de flambement

a = plus petite dimension de la poutre

c = enrobage.

- colonne - courte

- colonne la gatine

$$P_u = 0,6f'_c (A_g - A_{st}) + 0,7f'_y A_{st}$$

- colonne spiralee

$$P_u = 0,64f'_c (A_g - A_{st}) + 0,75f'_y A_{st}$$

P_u = charge axiale

A_g = section de béton totale
 A_{st} section d'acier

- colonne rigideuse

$$A_s = \frac{P_u - 0,6f'_c A_g}{0,7f'_y - 0,6f'_c}$$

- colonne spiralee

$$A_s = \frac{P_u - 0,64f'_c A_g}{0,75f'_y - 0,64f'_c}$$

C C BA 68

Éléments comprimés

A 23.3 M 77

Coulées élancées

- Si $\lambda > 50$ il faut une contrainte f_c

pour la charge :

$$f_c = \frac{8\lambda^2}{9} (1 + \xi) \times 10^{-3} (\lambda - 50)^{3/2}$$

 ξ : rapport de la charge permanente

sur la charge vive

V ordonnée maximale du contour
de la section du côté le plus

comprimé

 n : rayon de giration

J'ai un moment fléchissant additionnel

$$M_f = N \cdot f_c$$

Coulées, élancées

- Il faut un facteur d'amplification δ

pour le moment

$$\delta = \frac{C_m}{1 - \frac{P_u}{P_{cr}}}$$

Système mon contreventé $C_m = 1$

Système contreventé,

- avec charges latérales $C_m = 1$
- avec moments d'extremes seulement

$$C_m = 0,6 + 0,4 \frac{M_1}{M_2}; C_m \geq 0,4$$

 P_u = charge axiale ultime de servitude P_{cr} = charge critique d'EulerCm transforme les moments en un moment
équivalent uniforme $M_{max} = M_c \times \delta$

CC 8A 68 Exemple n° 7. Analyse d'un poteau - cont

A 23.3 H 77

Determiner en fonction du pourcentage d'acier que la charge de service totale que peut supporter un poteau suppose court de 25×25 cm sachant que la charge permanente represente 60% de la charge de service.

$\bar{\sigma}_{\text{so}} = 82,5 \text{ kgf/cm}^2$ $\bar{\sigma}_{\text{a}} = 2670 \text{ kgf/cm}^2$

$l_c = 250 \text{ cm}$

$$\text{1) Cas } N = 4 \phi 25 = 19,63 \text{ cm}^2 \Rightarrow \rho = 3,14\%$$

$$\begin{aligned} N' &= \bar{\sigma}_{\text{so}} (B + m A) \\ &= 82,5 (625 + 15 \times 19,63) \\ &= 75,8 \text{ T} = 758 \text{ kN} \end{aligned}$$

$$\begin{aligned} f'_c &= 27 \text{ MPa} & f_y &= 400 \text{ MPa} \\ l_c &= 250 \text{ cm} & \rho &\text{ le pourcentage d'acier} \\ && \text{que peut supporter} \\ && \text{un poteau - court de} \\ && \text{la charge de service} \end{aligned}$$

$$\text{2) Cas } A_s = 19,63 \text{ cm}^2 \Rightarrow \rho = 3,14\%$$

$$\begin{aligned} P_u &= 0,6 f'_c (A_g - A_{sr}) + 0,7 f_y A_{sr} \\ &= [0,6 \times 27 (625 - 19,63) + 0,7 \times 400 \times 19,63] 10^{-4} \\ &= 1,53 \text{ MN} \\ \therefore P_u &= 1530 \text{ kN} \end{aligned}$$

Determiner en fonction de

CCBA 58 | Elements Comprimés | A 23.3 M77

calculer la charge à partir de l'acier

minimale :

- on a un plateau inférieur $\theta_1 = 1$

$$- \theta_2 = 1 + \frac{L_c}{4c - 2c} = 1 + \frac{250}{4 \times 25 - 2 \times 3} = 3,65$$

$$- \theta_3 = 1 + \frac{2160}{G_m} = 1,54$$

$$N'_2 = \frac{1600 \cdot A'_m \cdot \bar{\sigma}_{b0}}{1,25 \times 1 \times 3,65 \times 1,55} = 2290 \text{ kN}$$

$$N'_1 = 2290 \text{ kN} > N'$$

$$\Rightarrow N = N'_1 = 758 \text{ kN}$$

$$N_u = 1,4 N_a + 1,2 N_p$$

$$N_u = 1 \times (0,6 N_s) + 1,2 (0,4 N_s) = 758 \text{ kN}$$

$$\Rightarrow \underline{N_s = 702 \text{ kN}}$$

$$P_u = 1530 \text{ kN}$$

$$P_u = 1,4 P_d + 1,7 P_L$$

$$P_u = 1,4 (0,6 P_s) + 1,7 (0,4 P_s) = 1530 \text{ kN}$$

$$\Rightarrow \underline{P_s = 1008 \text{ kN}}$$

C.C.B.A 68	Elements comprimés	A _{23.3} 1177
2) <u>cas A = 6,25 cm² W_e = 1%</u> :	<u>cas A_s = 6,25</u> $\rho = 1\%$	
en remplaçant A par sa valeur on trouve $N_u = 593 \text{ kN}$	on trouve également $P_u = 1177 \text{ kN}$ $1,4(0,6P_s) + 1,7(0,4P_s) = 1177$ $P_s = 774 \text{ kN}$	
4) <u>cas A = 12,5 cm² W_e = 2%</u> -	3) <u>cas A_s = 12,5</u> $\rho = 2\%$	
on trouve $N_u = 670 \text{ kN}$ $N_s = 620 \text{ kN}$	$P_u = 1342 \text{ kN} \Rightarrow P_s = 882 \text{ kN}$	
4) <u>cas A = 25 cm² W_e = 4%</u>	4) <u>cas A_s = 25 cm² ρ = 4%</u>	
on trouve $N_u = 825 \text{ kN}$	$P_u = 1672 \text{ kN}$	
$\Rightarrow N_s = 764 \text{ kN}$	$P_s = 1100 \text{ kN}$	
on trouve une augmentation en moyenne de 42% par rapport au C.C.B.A 68		

CCBAGS

Exemple N° 8 de sign d'un poteau - cont

A 23.3 17.77

Determiner les dimensions A_s d'un poteau devant supporter une charge de

service de 34,1 T et $P = 34,1$ T

$$B = 30 \times 30 \text{ cm}$$

Acier : Fe 30

Par hypothèse la colonne est courte

$$\bar{\sigma}_a' = \frac{2}{3} \sigma_a = \frac{2}{3} \times 3000 = 2000 \text{ kg/cm}^2$$

On suppose que la tension à 350 kg/cm²

et par conséquent $\bar{\sigma}_{bo}' = 63,5 \text{ kg/cm}^2$

$$\sigma_b' = \frac{\bar{\sigma}_a'}{15} = \frac{2000}{15} = 133 \text{ kg/cm}^2$$

$\sigma_b' > \bar{\sigma}_{bo}'$ on utilisera $\bar{\sigma}_{bo}'$ dans le

calcul de A'

$$N = \bar{\sigma}_{bo}' (B + 15 A')$$

$$A' = \frac{1}{15} \left[\frac{N}{\bar{\sigma}_{bo}'} - B \right]$$

Determiner A_s si la

charge est nulle ou

$$D = L = 341 \text{ kN}$$

$$f'_c = 20 \text{ MPa} \quad f'_y = 300 \text{ MPa}$$

Par hypothèse la colonne est courte

Mais avec une colonne figée

$$P_u = 0,60 f'_c (A_g - A_{sr}) + 0,70 f'_y A_{st}$$

$$\Rightarrow A_s = \frac{P_u - 0,6 f'_c A_g}{0,7 f'_y - 0,6 f'_c}$$

C C B A 68

Éléments comprimés

A23.3 M777

$$N = 34100 + 1,2 \times 34100 = 75000 \text{ kg}$$

$$A' = \frac{1}{75} \left[\frac{75000}{68,5} - g_00 \right] = 13 \text{ cm}^2$$

calculer la force minimale
nécessaire $\theta_1 = 1$

$$\theta_2 = 1 + \frac{\lambda_c}{4a - 2c} = 1 + \frac{0,7 \times 280}{4 \times 30 - 2 \times 3} = 2,58$$

$$\theta_3 = 1 + \frac{G_{cm}}{2160} = 1 + \frac{3500}{2160} = 2,4$$

$$A'_{min} = \frac{1,25}{1000} \times \theta_1 \times \theta_2 \times \theta_3 \frac{N}{\sigma_{bo}}$$

$$= \frac{1,25}{1000} \times 1 \times 2,58 \times 2,4 \times \frac{75000}{68,5} = 8,47 \text{ cm}^2$$

 $A' > A_{min}$

$$d'_{av} = \underline{A' = 13 \text{ cm}^2}$$

$$P_u = 341 \times 1,4 + 1,7 \times 341 = 1057 \text{ kN}$$

$$A_s^* = \frac{1,057 - 0,6 \times 20 \times 0,09}{0,7 \times 300 - 0,6 \times 70} < 0$$

La section du bilan peut à elle seule
reprendre la charge mais nous avons
donc le minimum d'acier pour la
température et le retrait sol $\rho = 1\%$

$$A_{min} = \frac{1}{1000} \times 3 \times 30 = 9 \text{ cm}^2$$

$$A = A_{min} = 9 \text{ cm}^2$$

Sont une économie de 30% d'acier

C C B A 65

Exemple № 9

Design

d'un poteau élancé

A_{23.3} H 77

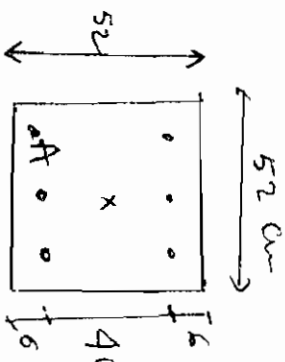
Problème. Déterminer les armatures d'une colonne A devant supporter une charge axiale de 70 T et un moment de service également de 25 Tm.

On suppose que la charge permanente représente 50% de la charge totale.

$$\bar{\sigma}_b' = 90 \text{ N/mm} \quad \bar{\sigma}_a = 2000 \text{ N/mm}$$

Changer de charge

- $N_u = 1 \times 35 + 1,2 \times 35 = 77 +$
- $M_u = 1 \times 12,5 + 1,2 \times 12,5 = 27,5 \text{ Tm}$
- la colonne est-elle élancée ?



Déterminer les armatures de cette colonne A sous chargement permanent. $J = L = 350 \text{ kNm}$

$$m_D = m_L = 125 \text{ kNm}$$

Changer de charge

- $\bar{\tau}_u = 1,4 \times 350 + 1,7 \times 350 = 1085 \text{ kN}$
- $\bar{M}_u = 1,4 \times 12,5 + 1,7 \times 12,5 = 381,5 \text{ kNm}$
- la colonne est-elle élancée ?

Estimation de k_e (Nm/kN)

$$I_{\text{colonne}} = (0,52)^4 / 12 = 6,09 \cdot 10^{-3} \text{ m}^4$$

$$E_{\text{colonne}} = 0,2 E_c I_g + E_s I_s$$

C.I.B.A 68	Éléments	Comprimés	$A_{28,3} M_{77}$
		$EI_{col} = 2 \times 5000 \sqrt{f'_c} + 800 \text{ mm MPa} \times 257 \times 10^{-6} \text{ m}^4$ $= 84,76 \text{ MN m}^2$ $\psi_{haut} = \frac{84,76/6 + 84,76/4}{7,96 \cdot 10^3 \cdot 5000 \sqrt{3}/g} = 1,40$ $\psi_{bas} = 1$ Le monographe $k = 1,38$ $\frac{kL_y}{r} = \frac{1,38 \times 6}{0,3 \times 0,52} = 53 > 22$ La colonne est donc élancée. <u>Calcul du facteur d'amplification δ</u> $P_{cr} = \frac{\pi^2 EI}{(kL_y)^2 / 1 + \beta_d} = \frac{\pi^2 \times 84,76}{(1,38 \times 6)^2 / 1,5}$ $= 8135 \text{ kN}$	

on prend le même résultat de l'analyse

$$\lambda = \frac{kL_y}{r} = \frac{kL_0}{\alpha \frac{\sqrt{3}}{6}} = \frac{1,38 \times 600}{52 \times \frac{\sqrt{3}}{6}} = 57$$

$\lambda = 57 > 50$ la colonne est élancée

l'excentricité de la charge sera

$$\begin{aligned}
 f_c &= \frac{8x^2}{v} (1 + \epsilon) 10^{-3} (\lambda - 50)^{3/2} \\
 &= 8 \times \left(\frac{50 \sqrt{3}}{6}\right)^2 \times \frac{1}{26} (1 + 0,5) 10^{-3} \times (57 - 50)^{3/2} \\
 &= 2 \text{ cm} = 0,02 \text{ m}
 \end{aligned}$$

CCBA 68

A 23.3 177

\int_a moment total M_{rea}

$$M_u = M_0 + N f_c =$$

$$M_u = 2750 \text{ mm} + 77 \text{ mm} \times 2 = 2904 \text{ mm kg cm}$$

$N_u = 77 \text{ mm kg}$

$$\text{on pose } \xi = \frac{d'}{h} = \frac{6}{32} = 0,1875$$

$$\rho = \frac{\text{Surface}}{N} = \frac{90 \times 52 \times 52}{77 \text{ mm}} = 3,16$$

$$\beta = \frac{6 M_{GB}}{N h t} = 4,35$$

$$c = 0,27 (1 - 2\xi)^2 \rho = 0,506$$

$$\delta = 0,30 (\rho - \beta) (1 - \xi) (1 - 2\xi)^2 = 0,7955$$

$$E = -(1 + \beta - \rho) = -9,19$$

$$\bar{\omega} = -\delta + \sqrt{\delta^2 - 4c \cdot E} = 1,43,73$$

$$\Rightarrow A = A' = 34,39 \text{ cm}^2 \Rightarrow A_T = 68,78 \text{ cm}^2$$

$$S = \frac{C_m}{1 - \frac{P_u}{\phi P_{cr}}} = \frac{1}{1 - \frac{1085}{0,7 \times 8135}} = 1,235$$

$$M_{\text{max}} = M_i \times S$$

$$= 387,5 \times 1,235 = 478,6 \text{ kNm}$$

la figure 3 - 53 du Hebe
Design Handbuch en Annex

donne pour :

$$\frac{M_u}{A g h} = 7,71 \text{ et } \frac{P_u}{A} = 1,77$$

une valeur de $\rho = 0,35$

$$\Rightarrow A_s = 63,54 \text{ cm}^2$$

sont une diminution de 7,6%
d'acier par rapport au CCBA 68

CCBA 68

Exemple N° 10 Design d'une colonne avec charge excentrée

A23.3.1177

Determiner les armatures d'une colonne rectangulaire devant supporter une charge telle que

$N_G = 94,4 \text{ T}$ $N_p = 63 \text{ T}$

excentrée de 10 cm

$$\bar{\sigma}_a = 2000 \text{ kgf/cm}^2 \quad \bar{\sigma}_{b_0}' = 68,5 \text{ kgf/cm}^2$$

$$N = 1 * N_G + 1,2 * N_p = 170 \text{ T}$$

$$e_0 = 10 \text{ cm} < \frac{h_f}{6} = \frac{30}{6} = 11,6 \text{ cm}$$

La section est donc entièrement comprimée

$$\bar{\sigma}'_{b_0} = \bar{\sigma}'_{b_0} \left(1 + \frac{e_0}{3h_f} \right) = \bar{\sigma}'_{b_0} \left(1 + \frac{10 \times 6}{3 \cdot 30} \right) = 88 \text{ kgf/cm}^2$$

$$\rho = \frac{\sigma' b h_t}{N} = 1,449 ; \quad \beta = \frac{6 M_{GB}}{N h_f^2} = \frac{6 e_0}{h_f^2} = 0,857$$

$$\delta' = \frac{d'}{h_t} = \frac{10}{30} = 0,1428$$

Determinez A

Sachant que la section $B = 40 \times 70 \text{ cm}$

$$P_D = 944 \text{ kN}$$

$$P_L = 630 \text{ kN}$$

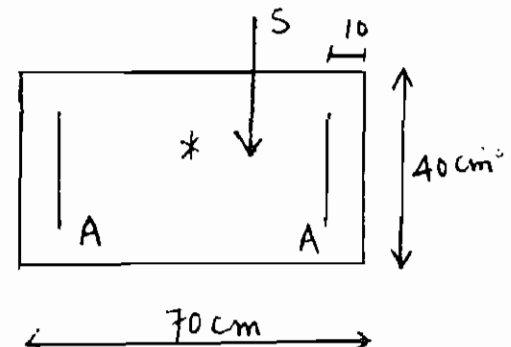
$$\text{excentricité } e_0 = 10 \text{ cm}$$

$$f_y = 300 \text{ MPa} \quad f'_c = 20 \text{ MPa}$$

$$P_u = 1,4 P_D + 1,7 P_L$$

$$P_u = 1,4 \times 944 + 1,7 \times 630$$

$$P_u = 2393 \text{ kN}$$



CCBA 68:

A_{23.3 H.77}

75

colonne due charge exercenée (partie)

$$C = 0,27 (1 - 2\delta')^2 \rho = 0,2$$

$$E = -(1 + \beta - \varrho) = -0,408$$

$$D = 0,3(\rho - \beta) - 0,9(1 - \varrho)(1 - 2\delta')^2 = 0,495$$

$$\bar{w} = \frac{-D + \sqrt{D^2 - 4CE}}{2C} = 0,652$$

$$\frac{\rho_u}{A_g} = \frac{2,393 \text{ MN}}{0,4 \times 0,7} = 8,546$$

$$\frac{\rho}{A_g} = \frac{A_0}{D} = 0,142$$

de figure 3.53 du Metac Design Handbook
on donne pour ces valeurs $\beta = 1\%$
voir Annexes

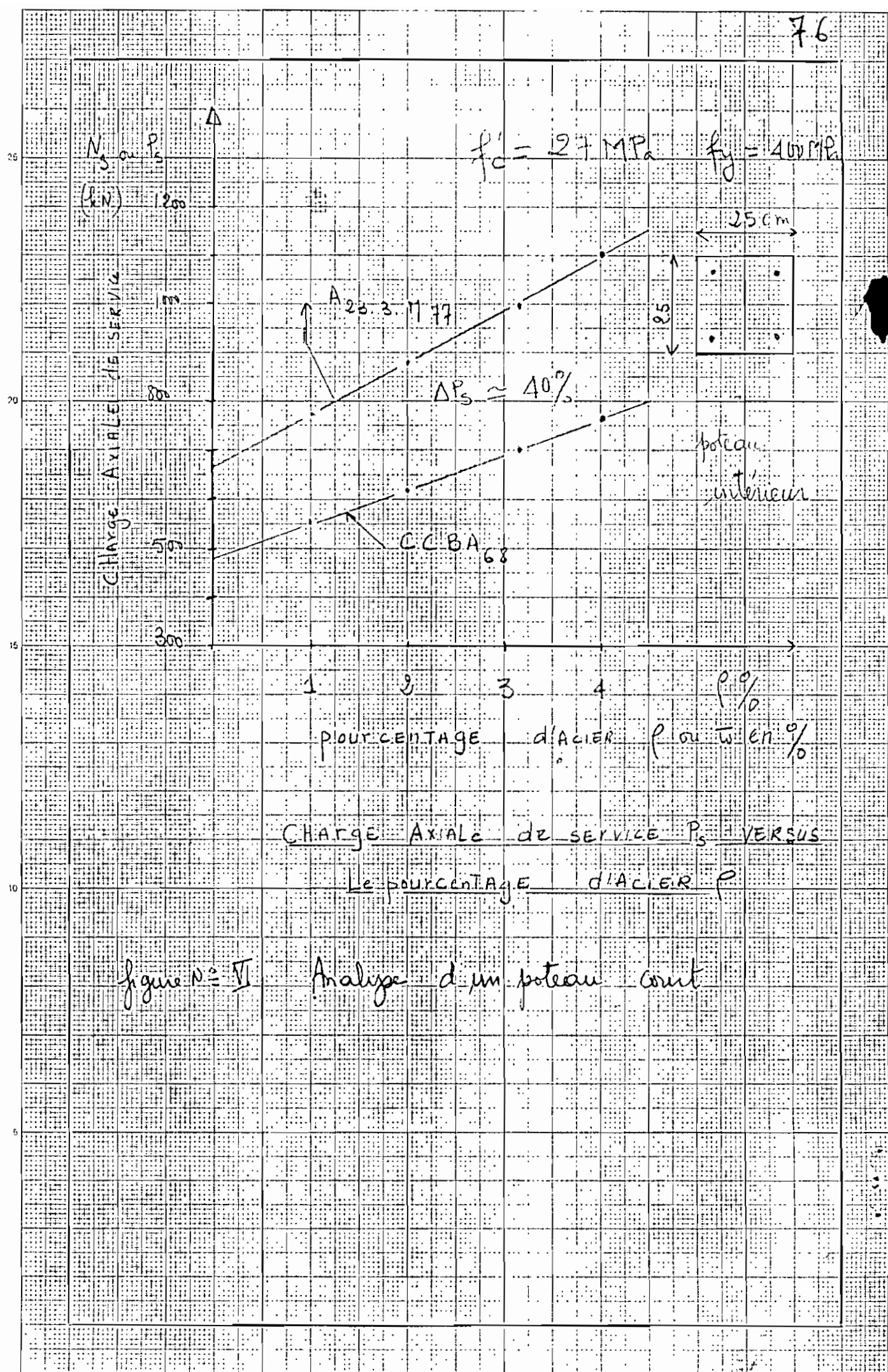
$$A_s = 28 \text{ cm}^2$$

sont une diminution de 23%
d'Acier par rapport au CCBA₆₈

$$A_1 = A_2 = 0,652 \times \frac{54 \text{ t}}{100}$$

$$A_1 = 18,25 \text{ cm}^2$$

$$A_T = 36,5 \text{ cm}^2$$



EXPLICATIONS ET DISCUSSIONS

La courbe tracée à partir de l'analyse des poteaux courts nous prouve que:

Pour des poteaux ayant un pourcentage d'accrue raisonnable variant entre 1 et 4% la norme canadienne permet une augmentation en moyenne de 40% de la charge axiale par rapport au CCBA 68.

Ceci est dû au fait que la contrainte admissible en compression simple est très faible par rapport à la contrainte ultime. Elle est presque le tiers de la limite d'élasticité nominale adoptée par la norme canadienne ($\bar{F}'_{b0} = 0,30 F'_b$) bien que la norme canadienne réduit également la contrainte de compression du béton par le coefficient ϕ qui tient compte de la performance $\phi = 0,70$ pour les colonnes ligaturées.

Les deux normes n'ont pas les mêmes limites pour la démarcation des colonnes courtes et des colonnes élancées

- Selon la norme Française (CCBA 68) une colonne devient élancée si l'élancement $\frac{kL_u}{r} = \frac{l_c}{r}$ est supérieur à 50

k est fonction des restrictions de la colonne

L_u = longueur totale non supportée

L_c = longueur de flambement = kL_u

r = rayon de gyration $\approx (i)$

- Selon la norme Canadienne la limite pour que la colonne soit élancée est $\frac{kL_u}{r} > 22$ si tel est le cas la norme canadienne prévoit une amplification du moment initial par un facteur 8. tandis que le CCBA 68 prévoit une excentricité f_c de la charge pour tenir compte de l'élancement Dans le cas présent également l'exemple étudié montre que le code canadien permet une économie de 23% des armatures longitudinales pour une grande charge

Chapitre VI

Cinquième

1) Contrainte de cisaillement τ_b

$$\tau_b = \frac{T}{T_e} \quad \text{Section rectangulaire}$$

$$\tau_b = \frac{T}{b^2} \quad \text{Section en Té'
effort tranchant}$$

$$T_e = \frac{\pi}{8} R \quad (\text{bras de levier})$$

2) Calcul des armatures transversales

- Pour les dalles et hourdis si :

- $\tau_b \leq 1,15 \bar{\sigma}_b$ Pas d'armatures transversales
- Dans les pannes fléchies autres que les dalles et hourdis l'espaceement est le maximum des 2 valeurs

$$T_e = \max \left[k \left(1 - \frac{0,3 \tau_b}{\bar{\sigma}_b} \right); 0,2 k \right]$$

Contrainte de cisaillement v_u

$$v_u = \frac{V_u}{\phi b d} \quad \text{Section rectangulaire}$$

$$V_u = \frac{V_u}{\phi b d} \quad \text{Section en Té'
effort tranchant}$$

$d =$ distance face tendue - fibre supérieure

$\phi = 0,85$ coefficient de performance

calcul des armatures transversales

On définit d'abord la contrainte v_c

reprise par la béton par

$$v_c = 0,17 \sqrt{f'_c} \quad \text{méthode simplifiée}$$

$$v_c = 0,16 \sqrt{f'_c} + 17 f_w \frac{V_u d}{M_u} \quad \text{méthode détaillée}$$

Les calculs suivants doivent être respectés

C C B A 68

Assaillissement

L'espacement des étiers doit respecter les valeurs ci-dessus

- $\bar{\sigma}_b \leq 3,5 \bar{\sigma}'_b$ lorsque $\bar{\sigma}'_b \leq \bar{\sigma}'_{b0}$
- $\bar{\sigma}_b \leq (4,5 - \frac{\bar{\sigma}'_b}{\bar{\sigma}_{b0}}) \bar{\sigma}'_b$ lorsque $\bar{\sigma}'_b \leq \bar{\sigma}'_{b0} \leq \bar{\sigma}_{b0}$

$\bar{\sigma}'_b$: contrainte maximale en compression

$\bar{\sigma}'_b$: constante admissible en traction

- Dans le cas de la flexicid simple l'écartement t des étiers est :

$$t = \frac{A_t \cdot E \cdot \bar{\sigma}_{at}}{T}$$

- Pour des étiers perpendiculaires à la ligne moyenne
- A_t = aire droite de l'armature de renforcement

$$\text{1) Si } 0 < V_u \leq \frac{V_c}{2} \text{ Pas d'autre tirage versé}$$

$$\text{2) Si } \frac{V_c}{2} < V_u \leq V_c + 0,35 M_r$$

il faut un renforcement minimal tel que

$$A_v = \frac{35}{f_y} b w s$$

A_v = aire droite de l'armature de renforcement

f_y = étalement des étiers

M_{uv} = le moment agissant simultanément

avec V_u

- Pour des bâmes inclinées à 45°

$$\lambda = \frac{A_t^2}{T} \frac{\bar{\sigma}_{at}}{\sqrt{2}}$$

$\bar{\sigma}_{at}$

: contrainte admissible en traction

de l'acier transversal.

- Dans le cas de la compression

lorsque les armatures longitudinale me

comportent pas - de recouvrement

$t =$ minimum des 2 valeurs

$$t_1 = \left(100 \phi_t - 15 \phi_{\text{fmax}} \right) \left(2 - \frac{\bar{\sigma}'_L}{\bar{\sigma}'_{b0}} \right)$$

$$t_2 = 15 \left(2 - \frac{\phi_t}{\phi_b} \right) \phi_{\text{fmin}}$$

$\phi_{\text{fmax}} =$ diamètre de la plus grande bâme longitudinale

$\phi_t =$ diamètre de l'acier transversal.

3) Si $0,35 \text{ MPa} < V_u - V_c \leq 0,33 \sqrt{f'_c}$

$$D = D \text{ requis}$$

$$D \leq \frac{d}{2} \left(1 + \cot \alpha \right)$$

$$4) 0,33 \sqrt{f'_c} \leq V_u - V_c \leq 0,67 \sqrt{f'_c}$$

$$D = D \text{ requis} \quad \text{et} \quad D \leq \frac{d}{4} \left(1 + \cot \alpha \right)$$

$$5) V_u - V_c > 0,67 \sqrt{f'_c}$$

non permis par la norme il faut

- changer la section

$$\text{Spécificité} = \frac{A_v f_y}{(V_u - V_c) d_w}$$

$d =$ dimension des étriers

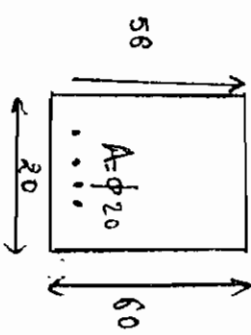
Problème: déterminer les armatures transversales d'une poutre de 8 m de longueur soumise à un chargement uniforme tel que

$$g = 964 \text{ kg/m}$$

$$\bar{\sigma}_{b0} = 65,5 \text{ N/mm}^2$$

$$\sigma_{ut} = 2000 \text{ N/mm}^2$$

$$\phi = 1440 \text{ kg/m}$$



$$q_d = 9,64 \text{ kN/m}$$

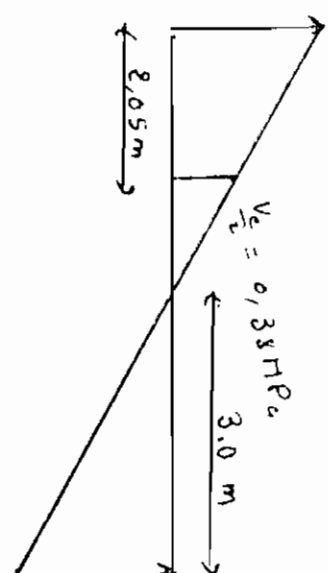
$$f'_c = 20 \text{ MPa}$$

$$f_y = 300 \text{ MPa}$$

déterminer les armatures transversales de cette poutre sachant que

$$q_L = 14,40 \text{ kN/m}$$

$$V_u = 8100 \text{ kg}$$



$$V_u = 114 \text{ kNm}$$

$$q_d = 1,44 q_d + 1,7 \quad q_L = 33 \text{ kN/m}$$

$$N_u = \frac{q L}{2} = 114 \text{ kN}$$

$$T_x = S \left[\frac{l}{2} - x \right]$$

$$V_u = q \left(\frac{l}{2} - x \right)$$

CC 8A 68

calcul des contraintes de cisaillement

$$\tau_{b_{\max}} = \frac{T_{\max}}{b \cdot z} = \frac{\frac{T_{\max}}{b \cdot h}}{b \cdot \frac{z}{2} \cdot h} = \frac{8 \cdot T_{\max}}{7 \cdot b \cdot h}$$

$$\alpha_{b_{\max}} = \frac{8 \times 8100}{7 \times 20 \times 56} = 8,26 \text{ kg/cm}^2$$

l'écartement est donné par la

formule

$$t_a = \frac{M_t \cdot z}{T_a} = \frac{2 \times 1 \times \frac{7}{2} \times 56 \times 2000}{T_a}$$

$$t_a = \frac{196000}{T_a}$$

les calculs des écarts et des

contraintes sont comparés au tableau suivant

contraintes de cisaillement ($\phi = 0,85$)

$$v_u = \frac{V_u}{\phi \cdot b \cdot w \cdot d} = \frac{11A}{0,85 \times 0,70 \times 0,50} = 1,197 \text{ MPa}$$

calcul de v_c

$$v_c = 0,49 \sqrt{f'_c} = 0,76 \text{ MPa}$$

calcul de $v_u - v_c$

$$v_u - v_c = 0,436 \text{ MPa} \Rightarrow 3^\circ \text{ cas}$$

$$S_{\text{équiv}} = \frac{A_v f_y}{(v_u - v_c) t_w} = \frac{2 \times 10 \times 300}{0,436 \times 200} = 688 \text{ mm}$$

$$S_{\max} = \min \begin{cases} \frac{d}{2} = \frac{560}{2} = 280 \text{ mm} \\ 3b = 600 \text{ mm} \end{cases}$$

$S = 280 \text{ mm}$ on prend $S = 28 \text{ cm}$
si $v_u \leq \frac{v_c}{2} = 0,38 \text{ MPa}$ pas besoin d'écrou

A 23.3.177

CCBA 68

abcic	Tax (kg)	t (cm)	$f_{at} = \frac{tI}{A\sqrt{2}} (kg/cm^2)$
$\alpha = 0$	8100	20	1653 kg/cm ²
$\alpha = 0,63$	6399	30	1958
$\alpha = 1,03$	4779	40	1950
$\alpha = 1,95$	2754	50	1405

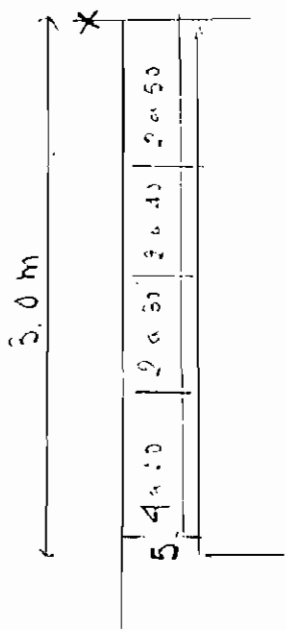
8A

A 23.3 1177

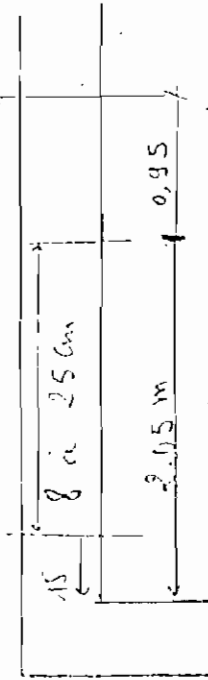
$V_u = \frac{V_c}{2} = 0,38 \text{ MPa}$ à une distance $x = 2,05 \text{ m}$ de l'appui

Calcul par triangles semblables

On part de $\alpha = 2,05$ on me mettra plus d'étiers



Sont en total 19 étiers



Sont en total 16 étiers

CCBA 68 | Exemple N°12 Design de caoulement conforme

85

A 23.3.1773

On demande de tracer la courbe de l'espacement s en fonction du caoulement de service V_s à partir de l'exemple précédent on suppose le caoulement constant

$$g = 964 \text{ kg/m}^3 \quad \phi = 1446 \text{ kg/m}^3$$

$$\text{cas 1 : } V_{s1} = 1 \cdot V_g + 1,2 V_p = 2700 \text{ kg/m}$$

$$s = 2700 \text{ kg/m} \quad t_{\max} = 8100 \text{ kg}$$

$$t = \frac{A_t \cdot \bar{\tau} \cdot \bar{\sigma}_{at}}{T} = \frac{2 \times 1 \times 49 \times 2000}{8100} = 24 \text{ cm}$$

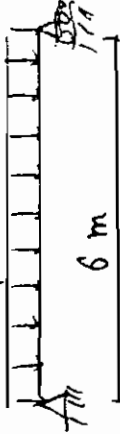
$$t_{\max} = h \left(1 - 0,3 \frac{\bar{\epsilon}_b}{\bar{\epsilon}_c} \right) \cdot \bar{\sigma}_b = 6,85 \text{ kg/cm}^2$$

$$\bar{\epsilon}_b = \frac{T_{\max}}{6t} = 8,26 \text{ kg/mm}^2$$

$$t_{\max} = 56 \left(1 - 0,3 \times \frac{8,26}{6,85} \right) = 35,7 \text{ cm}$$

Tracer la courbe de s en fonction du caoulement de service $V_s = 24 \text{ kN/m}$

$$q_b = 9,64 \text{ kN/m}$$



$$\tan \text{Cas } V = \frac{V_{s1}}{V} = \frac{1,49_0 + 1,79_0}{1,191} = 338 \text{ N/m}$$

$$q = 38 \text{ kN/m}$$

$$s = \frac{A_t \cdot \bar{\tau} \cdot \bar{\sigma}_y}{(V_u - V_c) \cdot b \cdot w} = \frac{2 \times 1 \times 49 \times 300}{(1,191 - 0,76) \times 720} = 68,6 \text{ cm}$$

$$V_u - V_c = 0,437 \rightarrow 0,35 \text{ MPa}$$

C'est le troisième cas

$$h \leq \frac{d}{2} = 28 \text{ cm}$$

C C B A 68

$$\text{Max } V = V_{S_1} = 72 \text{ kN} \quad h = 24 \text{ cm}$$

$$\frac{2}{2} \cos V = 1.5 V_{S_1} = 108 \text{ kN}$$

$$T_{\max} = \frac{3}{2} \times 8100 = 12150 \text{ kg}$$

$$t = \frac{A_t \cdot \bar{e} \cdot f_{\text{eff}}}{T} = \frac{2 \times 1 \times 49 \times 2000}{12150} = 16 \text{ cm}$$

$$c_b = \frac{3}{2} \times 8,26 = 12,39 \text{ kN/cm}^2$$

$$f_{\max} = b \left(1 - \frac{c_b \times 0,3}{50} \right) = 25 \text{ cm}$$

$$h = 16 \text{ cm}$$

$$3) \text{ Max } V = 2 V_{S_1} = 144 \text{ kN}$$

$$h = 12 \text{ cm} \quad f_{\max} = 15 \text{ cm}$$

$$t = 12 \text{ cm}$$

$$4) \text{ Min } V = 2,5 V_{S_1} = 9,6 \text{ cm}$$

$$t_{\min} = 11,2 \text{ cm}$$

A 23.3.177

$$\frac{A_u \cos}{20 \cos} \quad V = V_{S_1} \quad d = 28 \text{ cm}$$

$$\frac{V}{V = 1,5 V_{S_1}} = 108 \text{ kN}$$

$$V_u = \frac{3}{2} \times 1,197 = 1,796 \text{ MPa}$$

$$S = \frac{A_u \cdot f_{\text{eff}}}{(v_u - v_c) \times l_w} = \frac{2 \times 100 \times 300}{(1,796 - 0,76) \times 200} = 29 \text{ cm}$$

$$v_u - v_c = 1,036 \text{ MPa}$$

$$0,35 < v_u - v_c < 0,33 \sqrt{f_c} = 1,476 \text{ MPa}$$

$$- \cos 3 \quad S_{\max} = \frac{d}{2} = 28 \text{ cm}$$

$$S = 28 \text{ cm}$$

$$3) \text{ Max } V = 2 V_{S_1} = 144 \text{ kN}$$

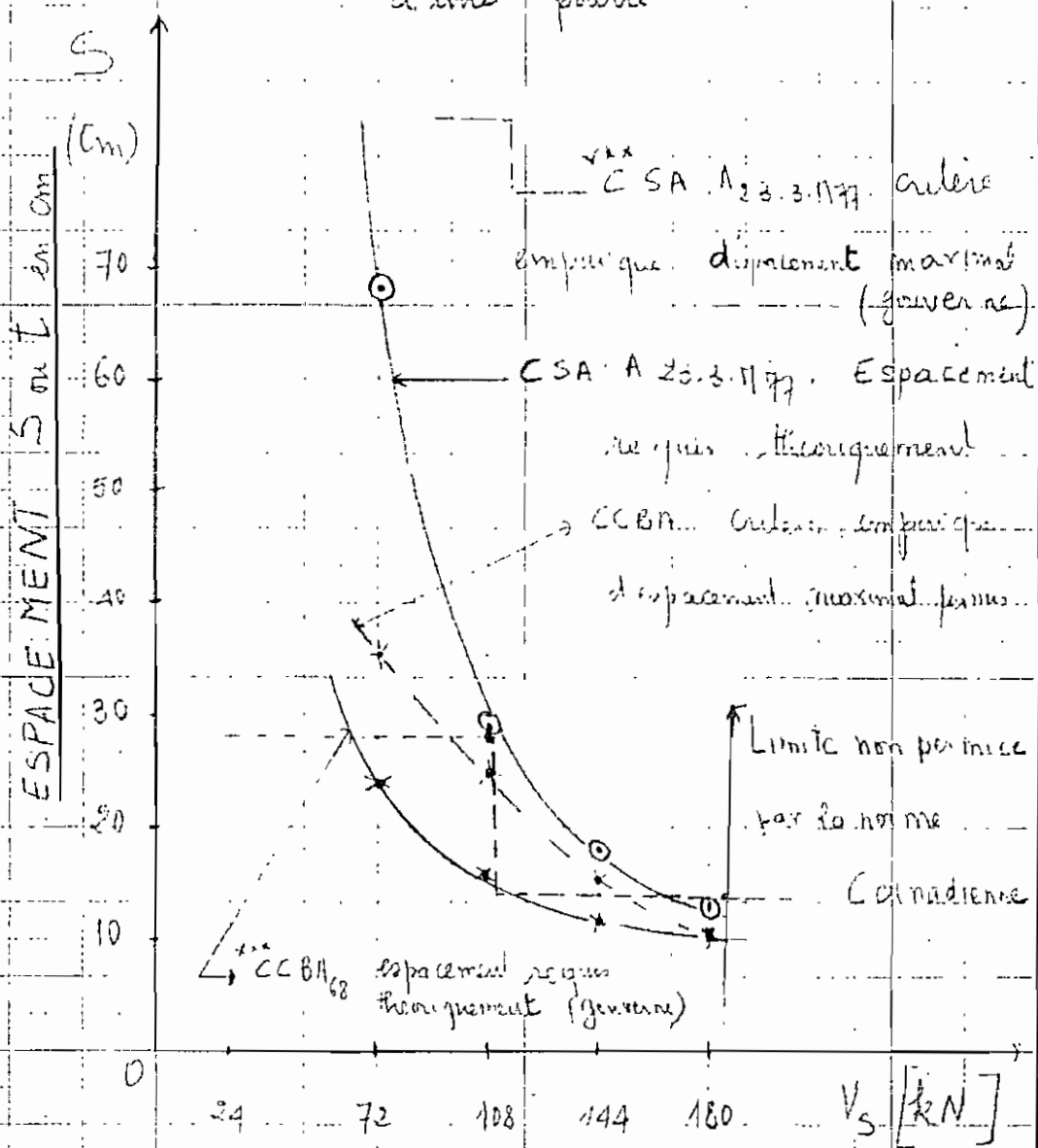
$$h_{\text{nequin}} = 18 \text{ cm} \quad S_{\max} = \frac{d}{4} = 14 \text{ cm}$$

$$S = 14 \text{ cm}$$

$$4) \text{ Min } V = 2,5 V_{S_1} \quad S = 13,4 \text{ cm}$$

$$S_{\max} = 14 \text{ cm}$$

Figure N° VII DESIGN du couplage uniforme le long
d'une partie



CISAILLEMENT de SERVICE V_s

Espacement t (en cm) en fonction du

cisaillement de service V_s (en kN)

Pour chaque des deux normes, la limite la plus sépulture est celle qui est qui est en dessous et elle gouverne.

Explorations et discussions

on voit également pour le cas du cisaillage comme montré par la figure précédente, il existe un critère empirique et un critère d'espacement requis théoriquement pour chacune des deux normes.

Les résultats de l'exemple précédent montrent que c'est le critère empirique qui gouverne pour la norme canadienne et quant à la norme Française le critère d'espacement requis théoriquement est plus sécuritaire.

Ces critères empiriques ont été développés dans le but d'entre au maximum la fissuration diagonale à une distance $\frac{d}{2}$.

La norme canadienne tolère des armatures transversales plus espacées que la Norme Française. Ceci s'explique par le fait que selon la norme canadienne, une partie de la contrainte de cisaillage est repoussée par le béton ($V_c = 0,17 \tau f'_c$). Le reste $V_u - V_c$ est repoussé par les aciers transversaux donc on a des élémens plus espacés . . .

Chapitre VII : flèche et formulation

1) flexion

89

2) formulation

91

CCCBA 68 | Chapitre VI Flèche et Fixation

1) Flèche

Il n'est pas nécessaire de justifier la flèche si $\frac{ht}{l} \geq \max\left(\frac{1}{16}, \frac{1}{10}\right)$

$ht = \text{hauteur de l'élément}$

$l = \text{longueur de l'élément}$

$M_t = \text{moment maximal dans la travée}$

$M_0 = \text{moment maximal par tronçon simple : } \frac{gl^2}{8}$

1) Flèche

Si l'épaisseur de l'élément ne dépasse pas la valeur recommandée pour les hauteur minimales (environ 6 cm pour métal de longueur) la flèche doit être vérifiée par un calcul détaillé.

Le Code National du Bâtiment (C.N.B) propose de faire ce calcul si

$$\rho > \cdot 18 f_c / f_y$$

Calcul de flèche

$$f_\infty = \frac{1}{r_\infty} = \frac{M}{E_v I_{fv}}$$

$$I_{fv} = \frac{I_o}{1 + \Delta \mu}$$

Calcul de flèche

$$\Delta L_T = A_L + A \approx A_J$$

$$\Delta = k \frac{M t^2}{E_c I_e} \quad (\text{Résistance des matériaux R.D.M})$$

C.C.B.A 68

A 23.3 177

Flèche (suite)

$E_v = 7000 \sqrt{\sigma_j}$ module d'élasticité différé
 σ_j' résistance en compression en bars à jours

$$\mu = \text{Max} \left(0, 1 - \frac{5 \bar{\sigma}_b}{4 \bar{\omega} \sigma_a + 3 \bar{\sigma}_b} \right)$$

I_{fr} moment d'inertie réduit par la
fissuration

$$\lambda = \frac{\bar{\sigma}_b}{180 \left(2 + 3 \frac{b_0}{b} \right) \bar{\omega}}$$

$$\bar{\omega} = \frac{A}{b_0 h}$$

$b_0 = b$ = largeur de la mercure
ou de la table de compression

flèche suite

$$E_c = 5000 \sqrt{f'_c}$$

f'_c résistance en compression en MPa

$$\lambda_\infty = 2 - 1,2 \left(A'_s / A_s \right)$$

$$I_a = I_{cr} + \left(\frac{M_{cr}}{M_a} \right)^3 (I_g - I_{cr}) \leq I_g$$

$$M_{cr} = f_r I_g / y_t \quad f_r = 0,5 \sqrt{f'_c}$$

$$I_{cr} = \frac{bc^3}{3} + m A_s (d - c)^2 + (m-1) A'_s (c - d')^2$$

I_{cr} = inertie fissurée transformée

I_e = inertie effective de la partie

Δ_0 flèche due à la charge
permanente

Δ_L flèche due à la surcharge

CCBA 68

2) Fissuration

Il existe peu de théorie satisfaisante pour le calcul des longueurs de flèches

Pour une membrane tendue

afin de limiter la longueur des flèches, on vérifie

$$\sigma_a \leq \max(\sigma_1, \sigma_2)$$

$$\sigma_1 = k \frac{\eta}{\phi} \frac{\bar{\omega}_f}{1 + 10 \bar{\omega}_f}$$

$$\sigma_2 = 2,4 \sqrt{k \frac{\eta}{\phi} \bar{\sigma}_b}$$

$\bar{\omega}_f$ = pourcentage d'acier

2) Fissuration

Des études au laboratoire ont permis d'établir la formule suivante celle de George et Lutz 1968

$$- l_f = M_1 A 10^{-6} f_s \sqrt[3]{d_c A}$$
$$- l_f = \text{longeur des fissures}$$
$$- \beta_k = \frac{l_2}{l_1} \text{ le rapport des distances de l'axe neutre (de la méthode élastique) et du centre de l'acier principal}$$
$$- f_s \text{ contrainte de service en MPa}$$
$$f_s = 0,6 f_y$$

91

A 23.3 777

C C B A 68

A 23.3 M 77

Fissuration (suite)

le coefficient η tient compte de l'adhérence des barres

- $\eta = 1,6$ pour les aciers à haute adhérence
- $\eta = 1$ pour les ronds - lisses
- coefficient K tient compte du niveau de l'accier - considéré pour l'épaisseur de la section
- $K = 1,5 \cdot 10^8$ pour 1 ligne supérieure
- $K = 1 \cdot 10^6$ pour " " inférieure
- $K = 0,5 \cdot 10^6$ " " inférieure
- résistance admise en traction des béton et diamètre de la barre

Fissuration (suite)

d_c = épaisseur d'enrobage de la fibre extérieure jusqu'au centre des barres les plus proches.

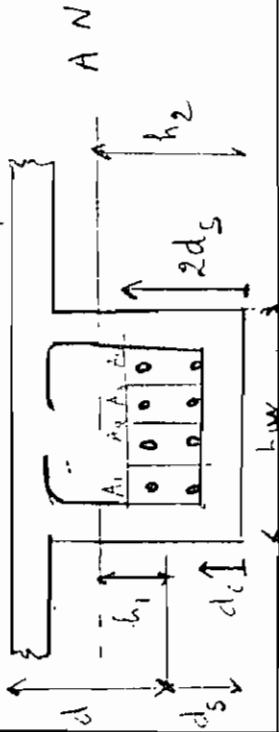
A = surface effective en mm^2

- si on a une seule rangée de barres

$$A = \frac{\sum A_i}{N} = \frac{2 d_{bw}}{N} (\text{mm}^2)$$

- si on a 2 rangées de barres

$$A = \frac{\sum A_i}{N} = \frac{2 d_s h_w}{N} \quad \text{pour une exposition extérieure}$$



CCBA 68

Exemple N° 13 : calcul de flèche d'une console

A 23.3.11 77

Determiner la flèche f_∞ d'une poutre encastrée de 3m de longueur et ayant un chargement tel que

$g = p = 520 \text{ daN/m}$ charge uniforme

$$\bar{\sigma}_b' = 75 \text{ bars}$$

$$\bar{\sigma}_a = 2750 \text{ bars}$$

$$\bar{\sigma}_b = 5,2 \text{ bars}$$

L'an totale sera

$$\text{Béton } 22 \times 50 = 1100$$

$$\text{Acier } 15 \times 4,02 = 60,3$$

$$1160,3 \text{ cm}^2$$

Le moment plastique sera

$$1100 \times 25 + 60,3 \times 47 = 30320 \text{ cm}^3$$

L'inertie I_o sera

$$I = \frac{2}{3} \times 50 \times 27500 + 47 \times 2820 = 1050000 \text{ cm}^4$$

Determiner la flèche Δ d'une poutre encastrée de 3 m de longueur et ayant une charge de rense

telle que $D = L = 5,2 \text{ kN/m}$

$$\begin{array}{c} \xleftarrow{22} \\ \square \quad \uparrow \\ \text{---} \quad 50 \\ \text{---} \end{array} \quad f'_c = 20 \text{ MPa} \quad f_y = 400 \text{ MPa}$$

$$a = \frac{A_s f_y}{85 f'_c b} = 45 \text{ mm}$$

$$c = \frac{a}{\beta_i} = 53 \text{ mm}$$

$$m = \frac{E_a}{E_b} = \frac{200000 \text{ MPa}}{5000 \sqrt{20}} = 9,5$$

$$I_{cr} = \frac{b c^3}{3} + m A_s (d - c)^2 + (m-1) A'_s (c - d')^2$$

$$= \frac{22 \times (0,053)^3}{3} + 9,5 \times 4,02 \times 10^{-4} (0,47 - 0,053)^2$$

$$= 6,84 \times 10^{-4} \text{ m}^4$$

<u>$C C B A 68$</u>	<u>$M_f = 2 \text{ kNm} = 14 \text{ cm}^2 \text{ (pente)}$</u>	<u>$M_f = 220 \text{ kNm}$</u>
<u>$M_f = 142 \text{ kNm}$</u>		
Contraints dans le beton		
de diam. 5 en Anneau donne pour $\varepsilon_u = 0,85'$		
$\sigma_b = 22,65 \Rightarrow \sigma_b = \frac{\sigma_u}{\alpha} = \frac{22,65}{0,65} = 102 < 150 \text{ kNm}$		
$\sigma_b < \sigma_b' \quad 0 \text{ kN}$		
Determination de M_s		
<u>$M_s = 0,3 M_f$</u>		
$1,4 \times 0,5 M_s + 1,2 \times 0,7 M_s = 142 \Rightarrow M_s = 130 \text{ kNm}$		
<u>$M_G = 0,4 M_s$</u>		
$1,4 \times 0,6 M_s + 1,2 \times 0,6 M_s = 148 \Rightarrow M_s = 132 \text{ kNm}$		
<u>$M_D = 0,5 M_s$</u>		
$1 \times 0,5 M_s + 1,2 \times 0,5 M_s = 143 \Rightarrow M_s = \frac{134 \text{ kNm}}{1,4} = 142 \text{ kNm}$		

CCBA 68

A 23.3.177

calcul de flèche (suite)

distance du centre de gravité à la fibre inférieure

$$\text{moment statique} = \frac{30320}{1160} = 26,15 \text{ cm}$$

$$I_o = 1050000 - 30320 \times 26,15 = 256000 \text{ cm}^4$$

$$\mu = \max \left(0, 1 - \frac{5 \bar{\sigma}_b}{4 \bar{w} \bar{\sigma}_a + 3 \bar{\sigma}_b} \right)$$

$$\bar{w} = A/bh = \frac{4,02}{22 \times 50} = 0,0038$$

$$\mu = \max \left(0, 1 - \frac{5 \times 5,2}{4 \times 0,0038 \times 2750 + 3 \times 5,2} \right)$$

$$\mu = \max (0, 0,547) = 0,547$$

$$\lambda = \frac{\bar{\sigma}_b}{180 \left(2 + 3 \frac{b_0}{b} \right) \bar{w}} = \frac{5,2}{180 \times 5 \times 0,0038} = 1,5$$

calcul de flèche suite

$$I_g = \frac{1}{12} b h^3 = \frac{1}{12} \times 0,22 \times (0,5)^3 = 2,29 \cdot 10^{-3} \text{ m}^4$$

$$M_{cr} = \frac{\bar{f}_r I_g}{y_i} = \frac{0,6 \sqrt{20} \times 2,29 \cdot 10^{-3}}{0,25}$$

$$= 0,02457 \text{ MNm} = 24,57 \text{ kNm}$$

calcul de la flèche Δ_p due à la charge permanente :

$$\text{moment } M_a = \frac{q L^2}{2} = \frac{520 \times 3^2}{2} = 23,4 \text{ kNm}$$

$$I_e = I_{cr} + \left(\frac{M_{cr}}{M_a} \right)^3 (I_g - I_{cr}) \leq I_g$$

$$I_e = 6,84 \cdot 10^{-4} + \left(\frac{24,57}{23,4} \right)^3 (2,29 \cdot 10^{-3} - 6,84 \cdot 10^{-4}) = \\ = 2,54 \cdot 10^{-3} \text{ m}^4 > I_g = 2,29 \cdot 10^{-3} \text{ m}^4$$

$$I_e = I_g = 2,29 \cdot 10^{-3} \text{ m}^4$$

$$\lambda_\infty = 2 - 1,2 \frac{A'_s}{A_s} = 2 \quad (A'_s = 0)$$

95

CCBA 68

Calculation in flache (plate)

$$I_{fv} = \frac{I_0}{1 + \Delta u} = \frac{256 \text{ cm}^4}{1 + 1,5 \times 0,54} =$$

$$= 140,600 \text{ cm}^4$$

$$E_v = 7000 \sqrt{\sigma_j} = 7000 \sqrt{1,2 \times 130} = 116 \text{ GPa}$$

$$H = \frac{q \ell^2}{2} = \frac{1040 \times 3^2}{2} = 47 \text{ cm daNm}$$

$$f_\infty = \frac{M \ell^2}{A E_v I_{fv}} = \frac{4700 \text{ cm} \times 9000}{4 \times 116000 \times 14066} =$$

$$f_\infty = 0,65 \text{ cm} = 6,5 \text{ mm}$$

$$\text{perimere} = \frac{L}{250} = \frac{3000}{250} = 12 \text{ mm} > f_\infty$$

A_{23.3} 11 97

$$\Delta_b = \frac{M \ell^2}{4 E_c I_e} = \frac{0,0234 \times 3^2}{4 \times 5000 \times \sqrt{23}} = 2,29 \cdot 10^{-3}$$

$$\Delta_b = 9,58 \cdot 10^{-4} \text{ m} \quad (\Delta_\infty = 2)$$

Calculate due to change due a la charge vive

$$M_a = \eta_L = \frac{q L}{2} = \frac{520 \times 3^2}{2} = 23,4 \text{ kNm}$$

$$I_e = I_{cr} + \left(\frac{M_{cr}}{M_a} \right)^3 (I_g - I_{cr})$$

$$= 9,16 \cdot 10^{-4} \text{ m}^4 < I_g$$

$$\Delta_L = \frac{M \ell^2}{4 E_c I_e} = \frac{0,0234 \times 3^2}{4 \times 5000 \sqrt{23}} = 9,16 \cdot 10^{-4} = 2,5 \text{ mm}$$

$$\Delta_{LT} = \Delta_L + \Delta_\infty$$

$$\Delta_{LT} = 2,5 \text{ mm} + 2 \times 0,958 = 4,41 \text{ mm}$$

$$\Delta_{LT} = 4,41 \text{ mm}$$

$$\Delta_b = \frac{\Delta_L \eta_x + \Delta_\infty}{\Delta_{perimere}} = \frac{2,5 \text{ mm} + 0,958}{250} = 0,12 \text{ mm} > \Delta_{LT}$$

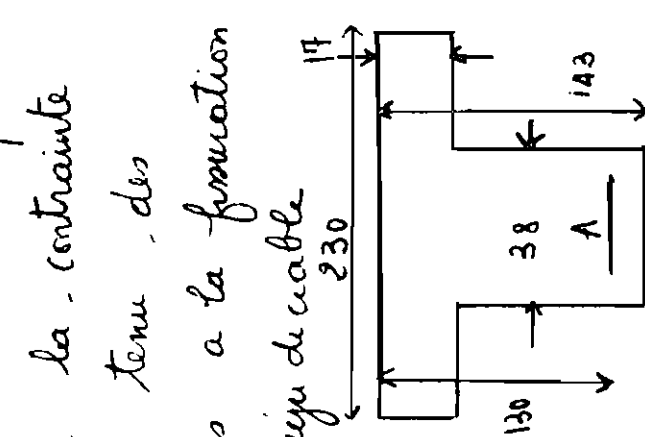
CC8A₆₃

Exemple N° 1A - calcul de fissuration

Déterminer la valeur que

ne doit pas dépasser la contrainte
de l'acier complète tenue des
considérations relatives à la fissuration
de fissuration est la plus élevée

$$\bar{\sigma}_o = 7 \text{ bars}$$



l'acier est de hauteur
et adhérence

$$\bar{w}_f = \frac{A}{8f} = \frac{A}{b \cdot 2d_s} = \frac{128,67}{988} = 0,13$$

$$\phi = 3,2$$

$$\kappa = 10^6$$

$$\beta_h = \frac{h_2}{h_1} = \frac{93}{85} = 1,15$$

$$f_s = 0,6 f_y = 240 \text{ MPa}$$

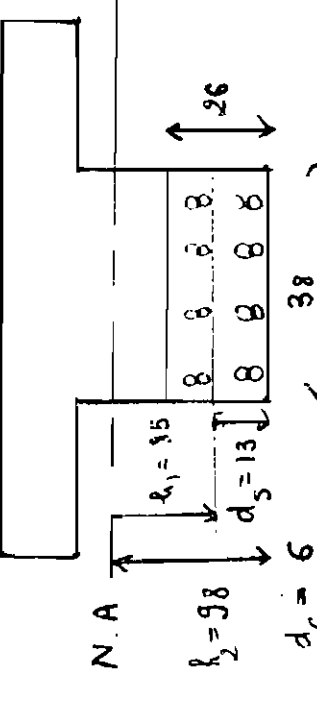
96

A 23.3 M77

Déterminer la largeur des fissures

correspondantes sachant que

$$f_y = 400 \text{ MPa}$$



$$A = 16 \phi 32$$

N.A.

$e_1 = 15$

$d_s = 13$

$e_2 = 98$

$d_c = 6$

26

38

$$L_f = A \cdot \lambda \cdot 10^{-6} \beta_h \kappa \sqrt{d_c A}$$

$$\beta_h = \frac{h_2}{h_1} = \frac{93}{85} = 1,15$$

CC BA 68	A _{23.3 N 77}
----------	------------------------

$$\sigma_1 = k \frac{n}{\phi} \frac{w_f}{1 + \lambda \tan \phi}$$

$$\sigma_1 = 10^6 \frac{1,6}{32} \frac{0,13}{1 + \lambda \tan 0,13} = 2826 \text{ bars}$$

$$\sigma_2 = 9,4 \sqrt{\frac{E}{\phi}} \frac{1}{\bar{G}_S}$$

$$= 2,4 \sqrt{10^6 \frac{1,6}{32} \times 7} = 1420 \text{ bars}$$

la conclusion ne doit pas dépasser

$\max(\sigma_1, \sigma_2) = 2826 \text{ bars}$
nouveau puissance à la contrainte
admissible 2610 bars (on a un
 $\sigma_a = 2583 \text{ bars}$)

$$A = \frac{2 d_s b_w}{N} = \frac{2 \times 26 \times 38}{32}$$

$$= 61,75 \text{ cm}^2 = 6175 \text{ mm}^2$$

$$L_f = 11,1 \cdot 10^{-6} \times 1,15 \times 240 \times \sqrt[3]{60 \times 6175}$$

$$= 0,22 \text{ mm}$$

$$L_f = 0,22 \text{ mm}$$

$$L_f < L_{f\max} = 0,33 \text{ mm pour l'exposition intérieur}$$

Autre méthode

$$Z = f_s \sqrt[3]{d_c A} = 0,6 \times 40 \sqrt[3]{60 \times 6175}$$

$$Z = 17237 \text{ N/mm}$$

$$Z < Z_{\max} = 25000 \text{ N/mm exposition extérieure}$$

Explorations et discussions:

Dans le calcul relatif à la flèche également les deux normes ont beaucoup de points communs

- les charges utilisées sont celles de service
- l'inertie considérée est l'inertie fournie transformée de la section homogénéisée pour la norme canadienne ou l'inertie réduite pour le CCBA₆₈

Ceci est dû au fait que la base du calcul de flèche est la résistance des matériaux et elle est générale.

Il importe de noter que le module considéré par la norme Canadienne (E_a) est environ le double du module considéré par la norme Française E_c ($E_c \approx 2E_a$)

Ceci justifie le fait que le coefficient d'équivalence n de l'acier par rapport au béton passe de 15 pour le CCBA₆₈ à une valeur comprise entre 7 à 9 pour la Norme Canadienne

Pour le calcul relatif à la fissuration selon la norme Française il n'existe pas de théorie assez satisfaisante pour le calcul de la largeur des fissures il convient donc de limiter leur largeur afin d'éviter les ruines immédiates pour cela il est fortement conseillé d'utiliser dans chaque cas si on le peut le plus petit diamètre c'est à dire le plus grand nombre de barres compatible avec une mise en place assez correcte.

Ainsi la norme se contente de dire que la contrainte de l'acier tendu ne doit pas dépasser le maximum des 2 contraintes σ_1, σ_2 calculés empiriquement

La norme canadienne quant à elle dispose d'équations permettant d'évaluer la largeur de fissures. Ces valeurs étant à comparer aux maximums permis dépendant de l'exposition considérée.

$$L_f \leq \begin{cases} 0,40 \text{ mm pour exposition intérieure} \\ 0,33 \text{ mm pour exposition extérieure} \end{cases}$$

Chapitre VIII

Conclusions et

Discussions

Conclusions ET Discussions

De tout ce qui précède il ressort que globalement les deux normes (norme canadienne aux états limites et norme Française aux contraintes admissibles) sont fondées sur les mêmes bases de la théorie élastique bien qu'il existe souvent une différence des résultats finaux.

Nous résumons ci-dessous l'essentiel des résultats que nous avons établis.

- Hypothèses et caractéristiques des matériaux

La base du calcul est la résistance en compression du béton. L'approche des contraintes admissibles n'est qu'une réduction des résistances ultimes des matériaux.

Par exemple la contrainte admissible en compression du béton est la résistance ultime modifiée par le produit des constantes pour dimensions d, β, γ, f, E .

$$\bar{\sigma}_b' = (\alpha, \beta, \gamma, \delta, \epsilon) \sigma_n' \quad (\sigma_n' = f_c')$$

Ceci justifie à juste titre que les contraintes admissibles ne respectent pas le comportement réel des matériaux.

Pour l'acier la charge admisible est réduite aux $2/3$ $\bar{\sigma}_a = \frac{2}{3}(\sigma_{en}) \quad (\sigma_{en} = f_y)$

Les coefficients de majoration des charges ne sont pas les mêmes.

Les hypothèses de résistance des matériaux et ceux relatifs au Béton Armé diffèrent essentiellement du diagramme contraintes-deformations adopté :

- diagramme triangulaire pour le CCBA₆₈
- diagramme rectangulaire de Whitney selon la norme canadienne

- flexion simple

Pour de très faibles sollicitations nécessitant que l'acier peu d'acier la norme Française est avantageuse c'est le cas de l'acier minimal.

pour la température et le retrait dans les dalles, les poutres, les colonnes

Pour les sections rectangulaires fortement sollicitées nécessitant de l'armature -comprimée la norme Canadienne peut permettre une économie de 42% d'acier

Pour les sections en Té les résultats sont inversés car la norme Canadienne n'est avantageuse que pour les petites sollicitations

Compensation

Pour le cas de la compensation simple la norme Canadienne est nettement plus avantageuse, car le CCBA₆₈ impose un facteur de sécurité global au moins égal à 3 pour la sollicitation la plus défavorable. Tandis que celui de la norme Canadienne varie de 2 à 2,4 pour une colonne ligaturée

À même taux d'acier la norme Canadienne fournit 40% de plus que la charge axiale fournie par le CCBA₆₈. Une colonne est dite élançée si le rapport $\lambda = \frac{KL}{r}$ est supérieur à 22 selon la norme canadienne ou 50 selon le CCBA₆₈.

Couplage

Chacune des 2 normes dispose de deux critères déterminant les espacements

- critère d'espacement théorique qui gouverne généralement pour le CCBA₆₈
 - critère d'espacement empirique qui gouverne généralement pour le Code Canadien
- La norme canadienne tolère des armatures transversales plus espacées que la Norme Française, car selon la première une partie de la contrainte de couplage est reprise par le béton alors que tel n'est pas le cas pour le CCBA₆₈

Critères de ruine

Les calculs de flèche sont presque identiques car basés sur les principes de la Résistance des Matériaux.

La fissuration libre qui elle engendre des problèmes secondaires n'est étudiée que de façon empirique

Les deux normes suggèrent d'utiliser plus que possible le petit diamètre pour les barres longitudinales

Dans l'ensemble et pour le domaine d'utilisation courant du bâtiment (niveaux de sollicitations élevés) la norme canadienne aux états limites est plus avantageuse que la norme Française aux contraintes admissibles.

Pour les sollicitations usuelles comme la compression et la flexion l'avantage peut aller jusqu'à 40% d'économie d'Acier.

Annexe

BIBLIOGRAPHIE

A ANNEXE

N° 1

$$\alpha = \frac{15}{15 + k} ; \quad \epsilon = 1 - \frac{\alpha}{3} = \frac{2}{3} ; \quad \mu' = \frac{M}{\sigma_b b h^2} ;$$

$$\sigma = \frac{100 A}{b h} ; \quad k = \frac{\sigma_a}{\sigma_b} ; \quad \mu = \frac{15 M}{\sigma_a b h^2}$$

Tableau N° 5 : tire du livre de P. CHARON :
Par ordre $k, \alpha, \epsilon, \mu'$, μ , σ Exercices de Béton Armé avec leurs
solutions : Eyrolles : 1973

Tableau 5 : Sections rectangulaires : Valeurs de :

$$\alpha = \frac{15}{15+k}; \quad \varepsilon = 1 - \frac{\alpha}{3} = \frac{z}{h}; \quad \mu' = \frac{M}{\sigma_b' b h^2}; \quad \mu = \frac{15M}{\sigma_a b h^2};$$

$$w = \frac{100A}{bh}, \text{ en fonction de } k = \frac{\sigma_a}{\sigma_b'}$$

(Nota : Les valeurs de α en fonction de k sont valables quelle que soit la forme de la section.)

k	α	ε	μ'	μ	w	A	z	ε	μ'	μ	w
0,0	1,0000	0,6667	0,3333	∞	∞	3,5	0,8108	0,7297	0,2958	1,268	11,58
0,1	0,9934	6689	3322	49,83	496,7	3,6	8064	7312	2948	1,228	11,20
0,2	9888	6711	3311	24,83	245,7	3,7	8021	7323	2938	1,191	10,84
0,3	9804	6732	3300	16,50	163,4	3,8	7979	7340	2928	1,156	10,50
0,4	9740	6753	3289	12,33	121,7	3,9	7936	7355	2918	1,122	10,17
0,5	9677	6774	3277	9,83	96,77	4,0	7895	7369	2909	1,091	9,86
0,6	9615	6795	3266	8,16	80,12	4,1	7853	7382	2899	1,060	9,57
0,7	9554	6815	3255	6,97	68,24	4,2	7812	7396	2889	1,032	9,30
0,8	9494	6835	3244	6,08	59,34	4,3	7772	7409	2879	1,004	9,03
0,9	9434	6855	3233	5,38	52,41	4,4	7732	7423	2869	0,9781	8,78
1,0	9375	6875	3223	4,83	45,87	4,5	7692	7436	2860	0,9533	8,54
1,1	9317	6894	3212	4,38	42,35	4,6	7653	7449	2850	9293	8,31
1,2	9259	6914	3201	4,00	38,58	4,7	7614	7462	2840	9054	8,10
1,3	9202	6933	3190	3,68	35,39	4,8	7576	7475	2831	8847	7,89
1,4	9145	6951	3179	3,40	32,56	4,9	7538	7487	2822	8639	7,69
1,5	9091	6970	3168	3,16	30,30	5,0	7500	7500	0,2812	0,8436	7,50
1,6	9036	6988	3157	2,96	28,24	5,1	7463	7512	2803	8244	7,31
1,7	8982	7006	3146	2,77	25,42	5,2	7426	7525	2794	8059	7,14
1,8	8929	7024	3136	2,61	24,80	5,3	7389	7537	2784	7879	6,97
1,9	8875	7041	3125	2,46	23,36	5,4	7353	7549	2775	7708	6,80
2,0	8823	7059	3114	2,33	22,05	5,5	0,7317	0,7561	0,2766	0,7544	6,65
2,1	8772	7075	3104	2,21	20,89	5,6	7281	7573	2757	7385	6,50
2,2	8721	7093	3093	2,10	19,82	5,7	7246	7585	2748	7231	6,35
2,3	8670	7110	3082	2,01	18,85	5,8	7211	7595	2739	7083	6,21
2,4	8621	7126	3072	1,92	17,96	5,9	7177	7608	2730	6941	6,08
2,5	8571	7143	3051	1,83	17,14	6,0	0,7143	0,7619	0,2721	0,6802	5,95
2,6	8523	7159	3051	1,76	16,39	6,1	7109	7630	2712	6659	5,82
2,7	8474	7175	3040	1,68	15,69	6,2	7075	7642	2703	6540	5,70
2,8	8427	7191	3030	1,62	15,05	6,3	7042	7653	2694	6414	5,59
2,9	8380	7207	3020	1,56	14,45	6,4	7009	7664	2686	6295	5,47
3,0	8333	7222	3009	1,50	13,89	6,5	0,6977	0,7674	0,2677	0,6178	5,36
3,1	8287	7238	2999	1,45	13,37	6,6	6944	7685	2668	6064	5,26
3,2	8242	7253	2989	1,40	12,88	6,7	6912	7696	2659	5953	5,15
3,3	8197	7268	2979	1,35	12,42	6,8	5881	7706	2651	5848	5,05
3,4	8152	7283	2968	1,31	11,99	6,9	6849	7717	2642	5742	4,95

k	α	ε	μ'	μ	w	k	α	ε	μ'	μ	w
7,0	0,6818	0,7727	0,2634	0,5642	4,870	11,0	0,5769	0,8077	0,2330	0,3177	2,622
7,1	6787	7738	2626	5546	4,779	11,1	5747	8084	2323	3139	2,589
7,2	6757	7748	2617	5432	4,692	11,2	5725	8092	2316	3102	2,556
7,3	6726	7758	2609	5361	4,607	11,3	5703	8099	2309	3065	2,524
7,4	6696	7768	2600	5259	4,524	11,4	5682	8106	2303	3030	2,492
7,5	0,6666	0,7778	0,2592	0,5184	4,444	11,5	0,5660	0,8113	0,2296	0,2995	2,461
7,6	6637	7788	2584	5101	4,366	11,6	5639	8120	2289	2960	2,431
7,7	6608	7797	2575	5018	4,291	11,7	5618	8127	2282	2925	2,401
7,8	6579	7807	2568	4938	4,217	11,8	5597	8134	2276	2893	2,372
7,9	6550	7817	2560	4851	4,145	11,9	5576	8141	2270	2861	2,343
8,0	0,6522	0,7826	0,2552	0,4785	4,076	12,0	0,5555	0,8148	0,2263	0,2829	2,315
8,1	6493	7836	2544	4711	4,008	12,1	5535	8155	2256	2797	2,287
8,2	6465	7845	2535	4639	3,942	12,2	5515	8152	2250	2765	2,261
8,3	6438	7854	2528	4568	3,878	12,3	5494	8169	2244	2735	2,234
8,4	6410	7863	2520	4500	3,815	12,4	5474	8175	2237	2706	2,207
8,5	0,6383	0,7872	0,2512	0,4433	3,754	12,5	0,5454	0,8182	0,2201	0,2677	2,182
8,6	6356	7881	2504	4367	3,675	12,6	5435	8188	2225	2649	2,157
8,7	6329	7890	2495	4303	3,637	12,7	5415	8195	2219	2621	2,132
8,8	6302	7899	2489	4242	3,581	12,8	5396	8201	2212	2592	2,108
8,9	6276	7908	2481	4182	3,526	12,9	5375	8208	2205	2564	2,084
9,0	0,6250	0,7917	0,2474	0,4123	3,472	13,0	0,5357	0,8214	0,2200	0,2538	2,060
9,1	6224	7925	2466	4055	3,419	13,1	5338	8221	2194	2512	2,037
9,2	6198	7934	2458	4008	3,368	13,2	5319	8227	2183	2485	2,015
9,3	6173	7942	2451	3953	3,318	13,3	5300	8233	2182	2461	1,993
9,4	6148	7951	2444	3900	3,271	13,4	5262	8239	2175	2435	1,971
9,5	0,6122	0,7959	0,2436	0,3846	3,223	13,5	0,5263	0,8246	0,2173	0,2411	1,949
9,6	6097	7968	2429	3795	3,177	13,6	5245	8252	2164	2387	1,928
9,7	6073	7975	2422	3245	3,131	13,7	5226	8258	2158	2363	1,907
9,8	6048	7984	2414	3595	3,084	13,8	5208	8264	2152	2339	1,887
9,9	6024	7992	2407	3647	3,042	13,9	5190	8270	2145	2315	1,867
10,0	0,6000	0,8000	0,2400	0,3600	3,000	14,0	0,5172	0,8276	0,2143	0,2292	1,847
10,1	5974	8008	2393	3554	2,958	14,1	5155	8282	2134	2270	1,828
10,2	5952	8016	2385	3508	2,917	14,2	5137	8288	2129	2249	1,809
10,3	5929	8024	2378	3453	2,878	14,3	5119	8294	2123	2227	1,790
10,4	5905	8032	2371	3419	2,839	14,4	5102	8299	2117	2205	1,772
10,5	0,5882	0,8039	0,2354	0,3377	2,801	14,5	0,5085	0,8305	0,2112	0,2184	1,754
10,6	5859	8047	2357	3335	2,764	14,6	5068	8311	2106	2164	1,735
10,7	5836	8055	2350	3294	2,722	14,7	5050	8317	2100	2143	1,718
10,8	5814	8062	2343	3254	2,692	14,8	5033	8322	2094	2123	1,700
10,9	5791	8070	2336	3215	2,656	14,9	5017	8328	2089	2103	1,683

k	γ	ζ	μ'	μ	$\bar{\omega}$	κ	μ'	μ	$\bar{\omega}$	κ	γ	ζ	μ'	μ	$\bar{\omega}$							
-15,0	0,8333	0,2083	1,667	19,0	0,4412	0,8575	0,1681	0,1485	1,162	0,1118	0,8538	27,0	0,3571	0,6810	0,1573	0,3874	0,6561					
-14,1	0,8366	0,2139	2077	2063	1,450	19,1	4399	0,534	1977	1,474	1,152	23,1	3937	0,6834	0,1714	0,6810	0,8699	0,657				
-13,2	0,8347	0,2144	2072	2044	1,634	19,2	4386	0,538	1877	1,463	1,142	23,2	-3927	-6591	-1703	852	1,567	0,8554	0,552			
-12,3	0,8350	0,2064	2025	1,518	19,3	4373	0,542	1867	1,451	1,133	23,3	3916	0,6895	1702	1096	840	27,3	1,564	0,8559	0,649		
-11,4	0,8355	0,2061	2007	1,602	19,4	4360	0,547	1863	1,440	1,124	23,4	3906	0,6898	1699	1089	835	27,4	1,560	0,8554	0,646		
-10,5	0,8348	0,2056	1,989	1,587	19,5	4348	0,8551	0,1859	0,1430	1,115	23,5	0,3893	0,8101	0,1695	0,1052	0,8229	27,5	0,3529	0,1557	0,9849	0,642	
-9,6	0,8341	0,2056	2050	1971	1,571	19,6	4335	0,555	1854	1,419	1,106	23,6	3826	0,705	1691	1075	823	27,6	1,554	0,845	0,638	
-8,7	0,8346	0,2046	2045	1954	1,556	19,7	4323	0,559	1850	1,409	1,097	23,7	3876	0,708	1687	1068	816	27,7	1,551	0,840	0,634	
-7,8	0,8371	0,2045	1937	1,541	19,8	4310	0,563	1845	1,398	1,089	23,8	3866	0,711	1684	1061	813	27,8	1,548	0,825	0,630		
-6,9	0,8377	0,2034	1919	1,526	19,9	4298	0,567	1841	1,388	1,080	23,9	3856	0,715	1680	1055	807	27,9	1,547	0,811	0,627		
-6,0	0,8339	0,8387	0,2029	0,1907	1,512	29,0	0,4283	0,8571	0,1837	0,1378	1,071	24,0	0,3846	0,8718	0,1676	0,1048	0,801	28,0	0,3488	0,1541	0,8023	0,622
-5,1	0,8223	0,8392	2024	1886	1,498	20,1	4273	0,576	1832	1,347	1,063	24,1	3835	0,721	1572	1041	795	28,1	1,532	0,821	0,619	
-4,2	0,808	0,8397	2018	1859	1,484	20,2	4261	0,580	1828	1,357	1,055	24,2	3825	0,725	1669	1034	791	28,2	1,531	0,815	0,615	
-3,3	0,807	0,8403	2013	1852	1,470	20,3	4249	0,584	1824	1,348	1,046	24,3	3817	0,728	1666	1028	785	28,3	1,522	0,812	0,612	
-2,4	0,807	0,8403	2008	1836	1,456	20,4	4237	0,586	1819	1,338	1,038	24,4	3807	0,731	1663	1022	780	28,4	1,521	0,808	0,608	
-1,5	0,8413	0,8413	0,2003	0,1821	1,443	29,5	0,4225	0,8572	0,1615	0,1328	1,030	24,5	0,3797	0,8734	0,1558	0,1015	0,775	28,5	0,3448	0,1526	0,8053	0,605
-0,6	0,8418	0,8418	1998	1896	1,430	20,6	4213	0,596	1811	1,318	1,022	24,6	3788	0,737	1655	1009	770	28,6	1,520	0,8053	0,601	
0,7	0,8423	0,8423	1993	1790	1,417	20,7	4202	0,599	1807	1,309	1,015	24,7	3778	0,741	1651	1003	755	28,7	1,517	0,804	0,598	
1,6	0,8423	0,8423	1928	1775	1,404	20,8	4190	0,603	1802	1,300	1,007	24,8	3769	0,744	1648	9997	750	28,8	1,517	0,790	0,595	
2,5	0,8433	0,8433	1982	1759	1,391	20,9	4178	0,607	1798	1,290	1,000	24,9	3759	0,747	1644	9991	755	28,9	1,514	0,786	0,591	
3,6	0,8438	0,8438	1977	1,744	1,378	21,0	0,4166	0,8611	0,1794	0,1281	0,992	25,0	0,3750	0,8750	0,1641	0,0985	0,750	29,0	0,3409	0,1511	0,788	0,588
4,7	0,8442	0,8442	1972	1729	1,366	21,1	4155	0,8615	1790	1,272	985	25,1	3740	0,8753	1537	1079	745	29,1	1,508	0,777	0,584	
5,8	0,8447	0,8447	1987	1715	1,354	21,2	4144	0,8619	1786	1,253	977	25,2	3731	0,8756	1533	0972	740	29,2	1,505	0,773	0,581	
6,9	0,8452	0,8452	1982	1701	1,342	21,3	4132	0,8623	1782	1,255	970	25,3	3722	0,8759	1530	0965	736	29,3	1,502	0,770	0,577	
8,0	0,8457	0,8457	1957	1587	1,330	21,4	4121	0,8625	1777	1,246	963	25,4	3713	0,8762	1627	0951	731	29,4	1,501	0,765	0,574	
9,1	0,8462	0,8462	0,1952	0,1673	1,319	21,5	0,4169	0,8630	0,1773	0,1237	0,956	25,5	0,3704	0,8765	0,1637	0,0955	0,725	29,5	0,3371	0,8376	0,748	0,571
10,2	0,8465	0,8465	1947	1659	1,307	21,6	4098	0,8634	1759	1,228	949	25,6	3695	0,8768	1620	0950	722	29,6	1,503	0,757	0,565	
11,3	0,8471	0,8471	1942	1645	1,295	21,7	4087	0,8638	1755	1,220	942	25,7	3686	0,8771	1616	0944	717	29,7	1,502	0,753	0,561	
12,4	0,8475	0,8475	1938	1633	1,285	21,8	4076	0,8641	1761	1,212	935	25,8	3677	0,8774	1613	0938	713	29,8	1,501	0,749	0,557	
13,5	0,8480	0,8480	1933	1620	1,274	21,9	4065	0,8645	1757	1,203	928	25,9	3668	0,8777	1610	0932	709	29,9	1,500	0,744	0,559	
14,6	0,8485	0,8485	1928	1,928	0,1607	22,0	0,4054	0,8649	0,1753	0,1195	0,921	26,0	0,3659	0,8780	0,1608	0,9225	0,704	30,0	0,3333	0,8889	0,1481	0,555
15,7	0,8490	0,8490	1923	1,594	1,252	22,1	4043	0,8652	1749	1,187	914	26,1	3650	0,8783	1603	0921	699	30,1	1,501	0,721	0,552	
16,8	0,8494	0,8494	1918	1,581	1,241	22,2	4032	0,8655	1745	1,179	908	26,2	3641	0,8785	1599	0915	695	30,2	1,500	0,713	0,549	
17,9	0,8499	0,8499	1914	1,568	1,230	22,3	4021	0,8650	1741	1,171	902	26,3	3632	0,8789	1596	0910	691	30,3	1,499	0,713	0,546	
18,0	0,8503	0,8503	1909	1,557	1,220	22,4	4011	0,8653	1737	1,163	895	26,4	3623	0,8792	1593	0905	686	30,4	1,498	0,712	0,543	
19,1	0,8508	0,8508	1905	0,1545	1,210	22,5	0,4000	0,8667	0,1733	0,1155	0,888	26,5	0,3614	0,8795	0,1589	0,0899	0,682	30,5	0,3297	0,8901	0,1467	0,540
20,2	0,8512	0,8512	1900	1,537	1,200	22,6	3989	0,8671	1729	1,147	882	26,6	3606	0,8798	1586	0904	678	30,6	1,498	0,710	0,538	
21,3	0,8516	0,8516	1895	1,520	1,190	22,7	3979	0,8674	1725	1,140	876	26,7	3597	0,8801	1,581	0889	674	30,7	1,497	0,708	0,535	
22,4	0,8521	0,8521	1891	1,509	1,180	22,8	3968	0,8677	1722	1,132	870	26,8	3588	0,8804	1,579	0884	669	30,8	1,496	0,707	0,532	
23,5	0,8525	0,8525	1886	1,497	1,171	22,9	3958	0,8681	1718	1,125	864	26,9	3580	0,8807	1,575	0879	665	30,9	1,495	0,707	0,529	

k	γ	c	μ'	μ	$\bar{\omega}$	k	γ	c	μ'	μ	$\bar{\omega}$
31,0	0,3261	0,8913	0,1453	0,0703	0,525	35,0	0,3000	0,9000	0,1350	0,0579	0,429
31,1	3254	8915	1450	0699	523	35,2	2988	9004	1345	0573	424
31,2	3247	8918	1448	0695	520	35,4	2975	9008	1340	0568	420
31,3	3240	8920	1445	0693	518	35,6	2954	9012	1335	0563	416
31,4	3233	8922	1442	0689	515	35,8	2933	9016	1331	0558	412
31,5	0,3226	0,8925	0,1440	0,0686	0,512	36,0	0,2941	0,9020	0,1326	0,0553	0,409
31,6	3219	8927	1437	0682	509	36,2	2930	9023	1322	0548	405
31,7	3212	8929	1434	0679	507	36,4	2918	9027	1317	0543	401
31,8	3205	8932	1431	0675	504	36,6	2907	9031	1312	0538	397
31,9	3198	8934	1428	0672	501	36,8	2896	9035	1308	0533	394
32,0	0,3191	0,8936	0,1425	0,0658	0,499	37,0	0,2885	0,9038	0,1304	0,0529	0,390
32,1	3185	8938	1423	0655	495	37,2	2874	9042	1299	0524	386
32,2	3178	8941	1420	0652	494	37,4	2853	9045	1295	0519	383
32,3	3171	8943	1418	0659	491	37,6	2852	9049	1290	0515	379
32,4	3165	8945	1415	0655	488	37,8	2841	9053	1285	0511	376
32,5	0,3158	0,8947	0,1412	0,0652	0,486	38,0	0,2830	0,9057	0,1282	0,0506	0,372
32,6	3151	8950	1410	0649	483	38,2	2820	9060	1277	0502	369
32,7	3145	8952	1408	0645	481	38,4	2809	9054	1273	0497	365
32,8	3138	8954	1405	0642	479	38,6	2799	9057	1269	0493	363
32,9	3132	8956	1402	0639	475	38,8	2788	9071	1265	0489	359
33,0	0,3125	0,8958	0,1399	0,0635	0,474	39,0	0,2778	0,9074	0,1260	0,0485	0,356
33,1	3119	8950	1397	0633	471	39,2	2768	9077	1254	0481	353
33,2	3112	8953	1394	0630	469	39,4	2757	9081	1252	0477	350
33,3	3105	8955	1392	0627	465	39,6	2747	9084	1247	0472	347
33,4	3099	8957	1389	0624	464	39,8	2737	9088	1243	0468	343
33,5	0,3093	0,8959	0,1387	0,0621	0,452	40,0	0,2727	0,9091	0,1239	0,0464	0,341
33,6	3086	8971	1384	0618	459	40,2	2717	9094	1235	0461	338
33,7	3080	8973	1382	0615	457	40,4	2707	9098	1231	0457	335
33,8	3074	8975	1379	0612	455	40,6	2598	9101	1228	0454	332
33,9	3068	8977	1377	0609	453	40,8	2688	9104	1224	0450	330
34,0	0,3061	0,8980	0,1374	0,0606	0,450	41,0	0,2678	0,9108	0,1220	0,0445	0,327
34,1	3055	8982	1372	0604	448	41,2	2669	9111	1216	0443	324
34,2	3049	8984	1369	0601	445	41,4	2659	9114	1212	0439	321
34,3	3043	8986	1367	0598	444	41,6	2650	9117	1208	0436	318
34,4	3036	8988	1364	0595	441	41,8	2641	9120	1204	0432	316
34,5	0,3030	0,8990	0,1362	0,0592	0,439	42,0	0,2532	0,9123	0,1200	0,0429	0,313
34,6	3024	8992	1359	0589	437	42,2	2522	9126	1196	0425	311
34,7	3018	8994	1357	0586	435	42,4	2513	9129	1192	0422	308
34,8	3012	8996	1355	0584	433	42,6	2504	9132	1189	0419	306
34,9	3006	8998	1352	0581	431	42,8	2595	9135	1185	0416	303

k	α	ϵ	μ'	μ	$\bar{\omega}$	k	α	c	μ'	μ	$\bar{\omega}$
43,0	0,2585	0,9138	0,1181	0,0412	0,301	52,5	0,2222	0,9259	0,1029	0,0294	0,212
43,2	2577	9141	1128	0,0409	298	53,0	2206	9265	1022	0,0289	208
43,4	2568	9144	1174	0,0406	296	53,5	2190	9270	1015	0,0285	205
43,6	2560	9147	1171	0,0403	294	54,0	2174	9275	1009	0,0280	201
43,8	2551	9150	1167	0,0400	291	54,5	2158	9281	1001	0,0275	198
44,0	0,2542	0,9153	0,1163	0,0397	0,289	55,0	0,2143	0,9285	0,0995	0,0271	195
44,2	2534	9155	1150	0,0394	287	55,5	2128	9291	0,989	0,0267	192
44,4	2525	9158	1156	0,0391	284	56,0	2113	9296	0,982	0,0263	189
44,6	2517	9161	1153	0,0388	282	56,5	2098	9301	0,976	0,0259	186
44,8	2508	9164	1149	0,0385	280	57,0	2083	9306	0,969	0,0255	183
45,0	0,2500	0,9167	0,1145	0,0382	0,278	57,5	0,2069	0,9310	0,0963	0,0251	180
45,2	2492	9169	1142	0,0379	275	58,0	2055	9315	0,957	0,0247	177
45,4	2483	9172	1139	0,0376	274	58,5	2041	9320	0,951	0,0244	175
45,6	2475	9175	1135	0,0373	271	59,0	2027	9324	0,945	0,0240	172
45,8	2467	9178	1132	0,0371	269	59,5	2013	9329	0,939	0,0237	169
46,0	0,2459	0,9180	0,1128	0,0368	0,267	60,0	0,2000	0,9334	0,0933	0,0233	167
46,2	2451	9183	1125	0,0365	265	60,5	1987	9338	0,928	0,0230	164
46,4	2443	9184	1122	0,0363	263	61,0	1974	9342	0,922	0,0227	162
46,6	2435	9188	1118	0,0360	261	61,5	1961	9345	0,914	0,0220	160
46,8	2427	9191	1115	0,0357	259	62,0	1948	9351	0,911	0,0220	157
47,0	0,2419	0,9194	0,1112	0,0355	0,257	62,5	0,1935	0,9355	0,0905	0,0217	155
47,2	2411	9196	1109	0,0352	255	63,0	1923	9359	0,900	0,0214	153
47,4	2404	9199	1105	0,0350	254	63,5	1911	9363	0,895	0,0211	150
47,6	2396	9201	1102	0,0347	252	64,0	1899	9367	0,899	0,0208	148
47,8	2388	9204	1099	0,0345	250	64,5	1887	9371	0,894	0,0206	146
48,0	0,2381	0,9206	1095	0,0342	0,248	65,0	0,1875	0,9375	0,0979	0,0203	144
48,2	2373	9209	1092	0,0340	245	65,5	1863	9379	0,974	0,0200	142
48,4	2366	9211	1089	0,0337	244	66,0	1852	9383	0,989	0,0197	140
48,6	2358	9214	1085	0,0335	243	66,5	1840	9387	0,954	0,0195	138
48,8	2351	9216	1083	0,0333	241	67,0	1829	9390	0,959	0,0193	136
49,0	0,2344	0,9219	1080	0,0331	0,239	67,5	0,1818	0,9394	0,0854	0,0190	135
49,2	2336	9221	1077	0,0328	237	68,0	1807	9398	0,947	0,0187	133
49,4	2329	9224	1074	0,0326	235	68,5	1795	9401	0,944	0,0185	131
49,6	2322	9226	1071	0,0324	234	69,0	1786	9405	0,942	0,0183	129
49,8	2315	9228	1068	0,0322	232	69,5	1775	9408	0,935	0,0180	128
50,0	0,2308	0,9231	1065	0,0319	0,231	70,0	0,1765	0,9412	0,0831	0,0178	126
50,5	2290	9237	1057	0,0314	227	70,5	1754	9415	0,926	0,0176	124
51,0	2273	9242	1050	0,0309	223	71,0	1744	9419	0,922	0,0174	123
51,5	2256	9248	1043	0,0304	218	71,5	1734	9422	0,917	0,0171	121
52,0	2239	9254	1036	0,0299	215	72,0	1724	9425	0,912	0,0169	120

107

Annexe N° 2

figure 3.53 du

Metric Design Handbook

M. D. H

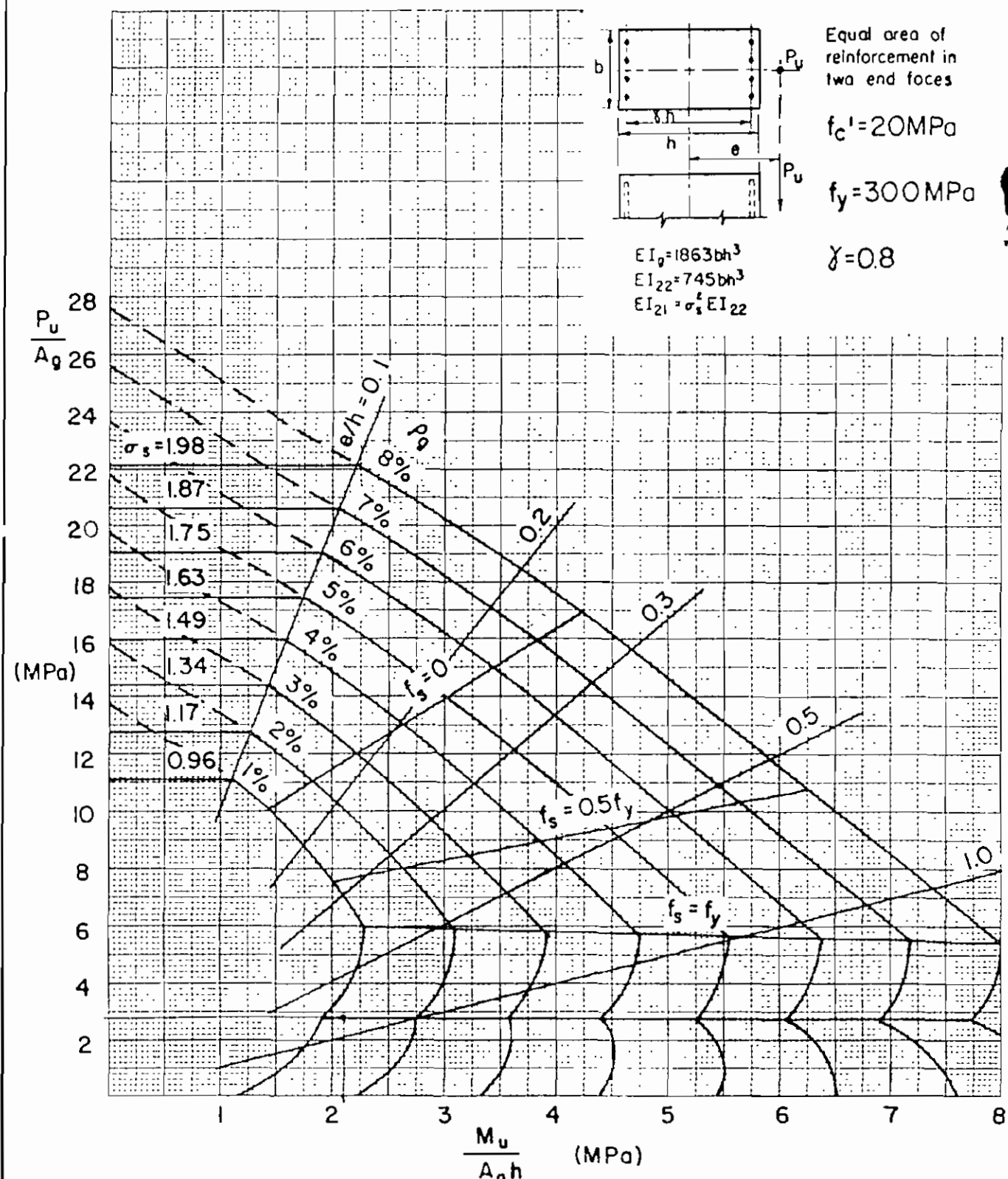


Fig. 3.53 Column Interaction Diagram
Rectangular Tied Columns

BIBLIOGRAPHIE

- [N] Mr ROGER LUPIEN
Notes de cours STRUCTURES (Béton) 421
STRUCTURES 511 (1980 - 1981)
- 1 - C.S.A. Can3. A_{23.3 M.77}
Règles de calcul des ouvrages en
béton dans les Bâtiments.
 CANADIAN STANDARD ASSOCIATION (1977)
- 2 - C.S.A. Can3 A_{23.1 et A 23.2 M.77}
Béton - Constituants et exécution
des travaux - Éssais concernant le
béton (1977)
- 3 - P. C. A: (ASSOCIATION CANADIENNE
 DU CIMENT PORTLAND)
Metric Design Handbook for
reinforced concrete Elements
 (1977)

- 4 - WINTER G.; NILSON A

Design of concrete structures

Mc Graw Hill

(1979)

- 5 - RÈgles CCBA 68

Règles Techniques de conception et de calcul des ouvrages en B.A

Eyrolles

(1976)

- 6 - PIERRE CHARON

Exercices de béton Armé avec leurs solutions (conformes aux CCBA 68)

Eyrolles

(1973)

- 7 - André Guérin; LAVAUR R.C

"Traité de Béton Armé"

Tome 2 et 4

Dunod

- 8 - MECHDOUDJAN ARMAND

Cours de béton Armé. Règles BAEL 80 et CCBA 68

EYROLLES

(1980)